

الأرصاد الجوية

مجلة علمية ربع سنوية

رئيس التحرير

د. أشرف صابر زكي عبدالموجود

عبد الغفار مصطفى سيد آدم

نواب رئيس التحرير

عزة مصطفى أحمد درويش

محمد الهادي قرني حسان

محمد صلاح محمد عكة

مدير التحرير

محمد عادل عبدالعظيم شاهين

سكرتارية التحرير

أحمد محمود محمد عباسي

رئيس مجلس الإدارة

د. أحمد عبدالعال محمد عبدالله

الإشراف العلمي

إبراهيم محمد سعيد إبراهيم عطا

د. كمال فهمي محمد محمود

د. عبدالله عبدالرحمن عبدالله

الإشراف المالي والإداري

عبدالله أحمد متولى سمرة

نجوي حسن علي

الاخراج الفني

عيد أحمد محمود

محتويات العدد

- ٢ كلمة العدد
- ٥ تولد منخفضات العروض الوسطي في صور الأقمار الصناعية
- ١٧ مقدمة في المناخ
- ٢٤ دراسة تغير الرطوبة النسبية فوق مصر في فصل الصيف (في الفترة من عام ١٩٤٨ إلى عام ٢٠١٨)
- ٣٠ التغير المناخي وتأثيره على كافة الأنشطة الحياتية
- ٣٧ سلسلة مقالات عن صيانة الحاسب الآلي
- ٤٤ الطقس والجراد الصحراوي

الهيئة العامة للأرصاد الجوية. ش. الخليفة الأمامون. كوبري القبة. القاهرة ص.ب. ١١٧٨٤

E-mail: ema.support@ema.gov.eg

http://nwp.gov.eg

الإدارة العامة لمركز المعلومات؛ ٢٦٨٣٣٦٥٣ فاكس؛ ٢٤٦٤٦٧١٥

ISSN 1110 - 5666



المراسلات

كلمة العدد

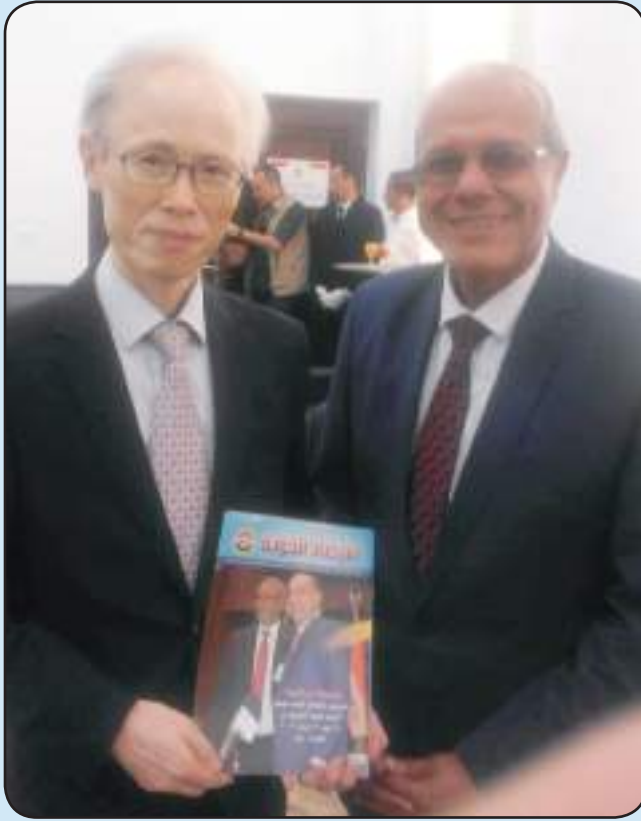


د. أحمد عبدالعال محمد
رئيس مجلس إدارة الهيئة العامة للأرصاد الجوية

الأرصاد الجوية مع التّقدم العلمى

المصرية الحاصلين على الماجستير والدكتوراه من الجامعة المصرية اليابانية وبدعوة كريمة من الأستاذ الدكتور/ أحمد الجوهري رئيس الجامعة المصرية اليابانية للسيد الدكتور/ أحمد عبدالعال محمد، رئيس مجلس إدارة هيئة الأرصاد الجوية لحضور هذا الحفل الكريم وأيضاً للبحث عن توقيع بروتوكول تعاون بين هيئة الأرصاد الجوية المصرية والجامعة المصرية اليابانية، وحيث إن الشغل شاغل للعالم الآن هو التغيرات المناخية التى أثرت على العالم وقد وجهت أبحاث كثيرة فى هذا المجال وخاصة لمجابهة هذه التغيرات المناخية وكيفية التكيف

مع التطور العلمى المستمر فى مصر وللبحث عن أحسن الطرق العلمية والعالمية فى مجال تطوير طرق التدريس تم الافتتاح الجزئى للجامعة المصرية اليابانية فى مدينة برج العرب وبحضور العديد من القامات العلمية فى مصر وعلى رأسها معالى وزير التعليم العالى والبحث العلمى الأستاذ الدكتور/ خالد عبدالغفار وكذلك سفير اليابان بمصر والأستاذة الدكتورة/ نادية زخارى وزيرة التعليم العالى والبحث العلمى السابق ولضيف من عمداء الجامعات المصرية وأساتذتها وكان هذا اليوم حافل حيث تم الاحتفال بأول مجموعة من خريجي الجامعات



مع هذه التغيرات فقد تم دراسة امكانية إنشاء المركز المصرى اليابانى للتعليم والبحوث فى مجال التغيرات المناخية ليكون مركزا مشترك بين الهيئة العامة للأرصاد الجوية المصرية والجامعة المصرية اليابانية حيث يكون لهذا المركز الحق فى اصدار دبلوم الدراسات العليا فى مجال التغيرات المناخية وكذلك درجات الماجستير والدكتوراه فى مجال التغيرات المناخية وذلك بالاشتراك بين الهيئة العامة للأرصاد الجوية المصرية والجامعة المصرية اليابانية.





تولد منخفضات العروض الوسطي في صور الأقمار الصناعية



أنواعها - 3

د. عبدالله عبدالرحمن عبدالله
مدير عام الإدارة العامة لتدريب الفنيين على الرصد الجوي
المراجعة العلمية: د. كمال فهمي

استعرضنا في المقالات السابقة أنواع المنخفضات المتكونة في العروض الوسطى
وامكانية التنبؤ بها من خلال ملاحظتنا لأنماط وتشكيلات السحب من صور الأقمار الصناعية،
وناقشنا التصور الأولي لتقسيم «مكلينن ونيل» (McLennan and Neil) (1988) وتطويره
عن طريق «يونج» (Young) (1993) بتقسيم أنواع تولد المنخفضات عن طريق السحب
الركامية الشديدة أو سحب الكُما (enhanced Cu or comma clouds):

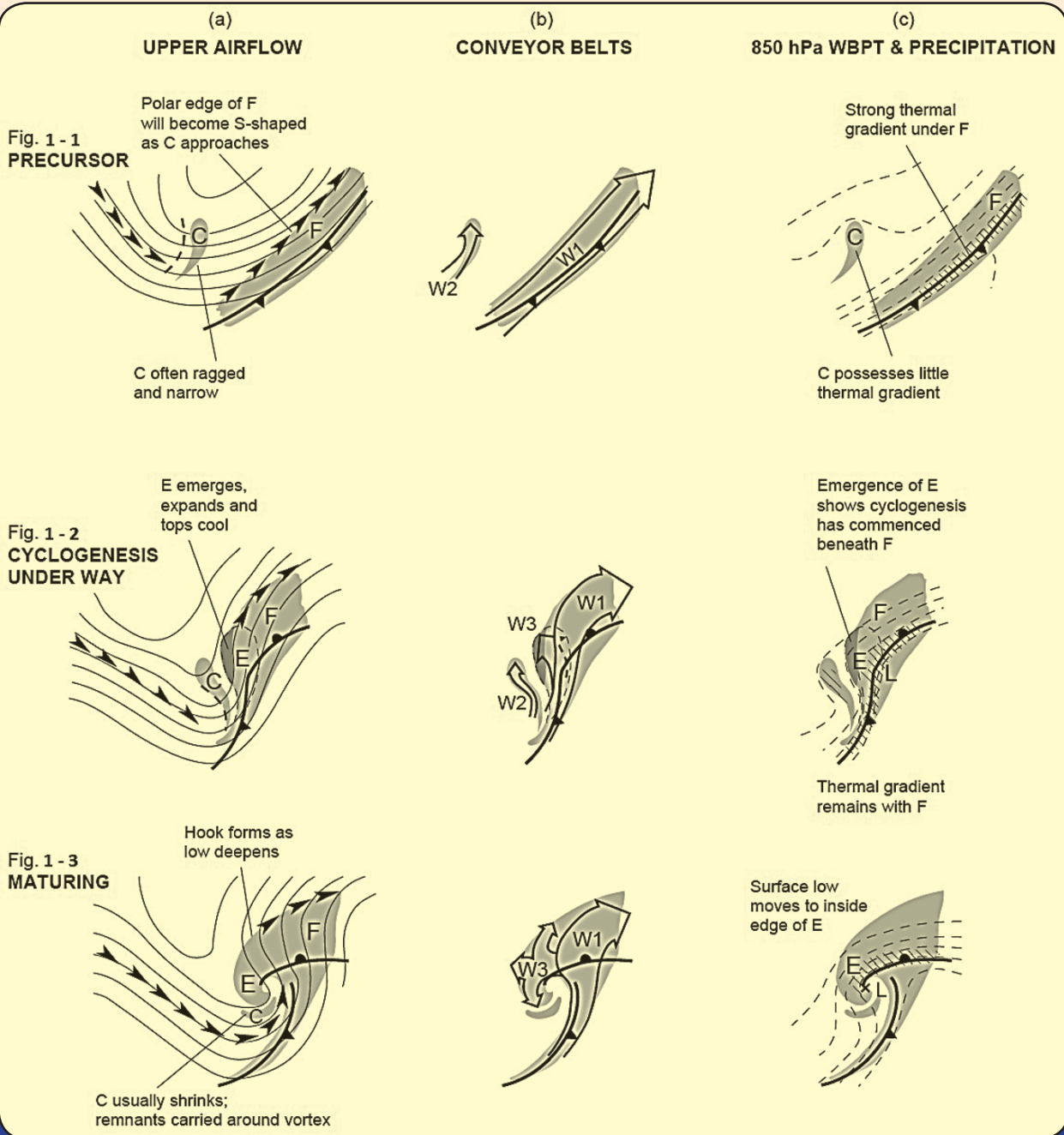
للجبهة Main frontal cloud band
استعرضنا في المقالة السابقة تولد المنخفضات في
الامتداد الرأسي للترف meridional trough
وكذلك في الترف المضطوح، التدفق المتشتت
Flat trough، diffluent flow، والآن سوف نناقش
النوعين المتبقين، وهم:

أ. الموجة المحفزة لتولد المنخفضات induced wave

شكل 1- يبين مخطط لتولد منخفضات العروض
الوسطى في «الموجة المحفزة لتولد تلك المنخفضات،
وهو نفس الحالة مثل تولد المنخفضات في الامتداد
الرأسي للترف meridional trough والذي ناقشناه في
المقالة السابقة، فيما عدا وجود السحابة «C» والتي
عادةً تتشكل منفصلة مع تكون الترف المتشكل في الهواء
البارد خلف الجبهة وتتحرك شيئاً فشيئاً تجاه السحابة
E حتى تندمج معها، تتولد حركة سيكلونية والمكونة
للمنخفض تحت السحابة «F»، في مكان وجود تباين

- في الهواء البارد العلوى Cold Air.
- بالاطباق الفوري Instant Occlusion.
- بانفصال التدفق العلوى Split flow.
- وكذلك تصور «مكلينن ونيل» وتطويره عن طريق «يونج»
في تقسيم أنواع تولد المنخفضات عن طريق حزمة
السحب الرئيسية للجبهة Main frontal cloud band،
سنستعرض النوعين التاليين:
- في الامتداد الرأسي للترف meridional trough
- الترف المضطوح، التدفق المتشتت Flat trough، diffluent flow
- وفي هذه المقالة سوف نختتم موضوع تولد منخفضات
العروض الوسطى بمناقشة النوعين الأخيرين وهم:
- الموجه المحفزة لتولد المنخفضات induced wave
- الحوض المضطوح، التدفق المتجمع Flat trough، confluent flow (cloud head)
- استكمال التطور عن طريق حزمة السحب الرئيسية

حرارى رئيسى فى هذا المكان، والذي يحدث معه اندماج السحابتين «F» مع «E». السحابة «E» تتشكل من الحزام النقال «W3» وهذا سيكون كياناً مستقلاً أو متطوراً من الطبقات السفلى من الحزام النقال «W1».

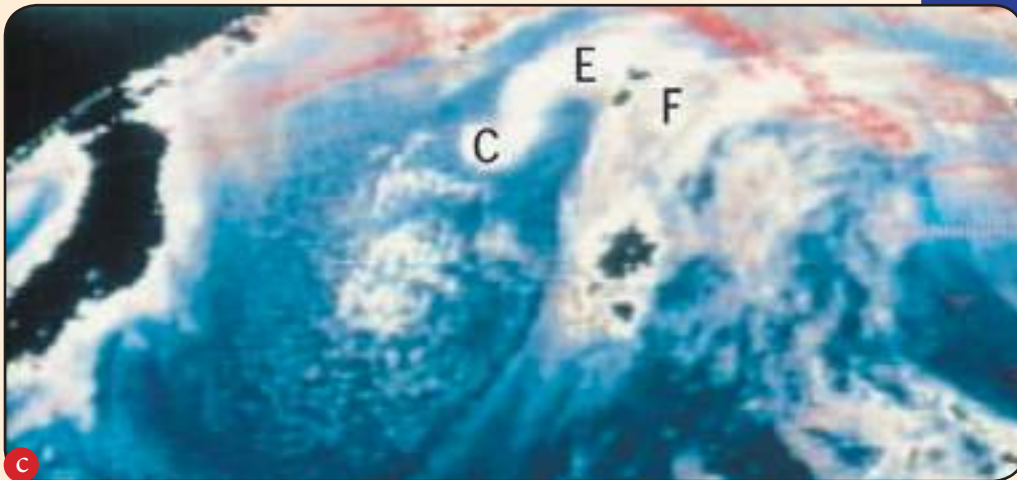
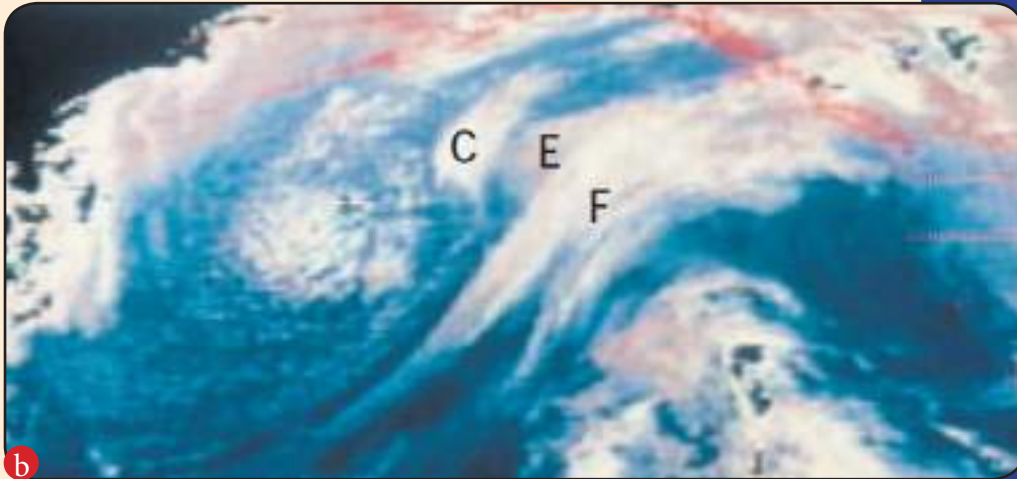
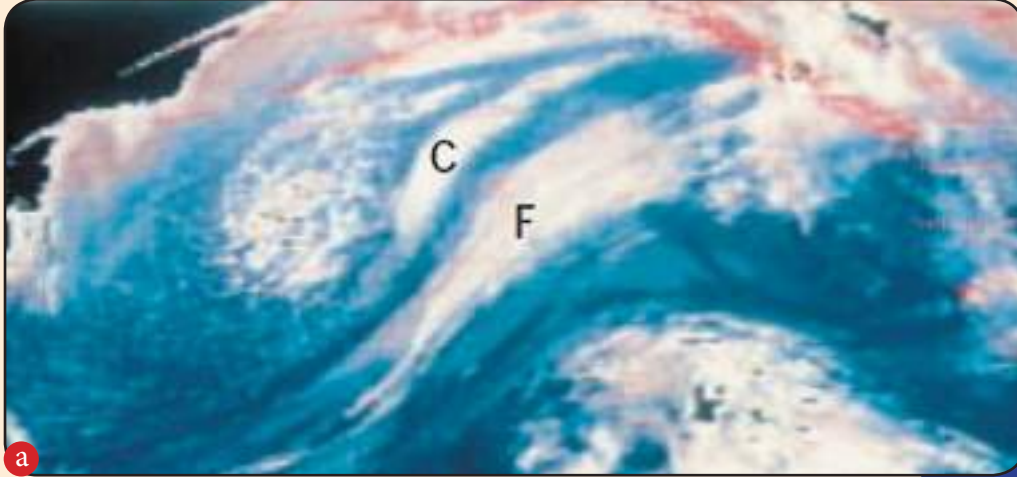


(شكل 1-1): مخطط لتولد منخفضات العروض الوسطى في «الموجة المحفزة لتولد المنخفضات. (a) نمط التدفق العلوى على 300 هـ.ب. ومخطط السحاب الرئيسى للجبهة. كما هو ظاهر على صور الأشعة تحت الحمراء IR. (b) نموذج للتدفق الهوائى عن طريق الحزام الهوائى النقال W_1 & W_2 & W_3 . (c) خطوط « θ على 850 هـ.ب. وأماكن هطول الأمطار. شكل 1-1 مرحلة ما قبل تكون المنخفض. شكل 2-1 مرحلة أثناء تكون المنخفض. شكل 3-1 مرحلة تطور المنخفض.

«مثال - ا-»

أسفل السحابة F. في حين تظهر السحابة المنعزلة C وتندمج مع السحابة E في مكان تولد الحركة السيكلونية من أسفل السحابة F والمحضرة لمركز المنخفض.

يوضح هذا المثال التتابع من صور الأقمار الصناعية فوق المحيط الهادئ (أشكال 2 - a، b، c) والتي توضح التطور أثناء تلك الحالة. فتظهر سحابة جديدة E من

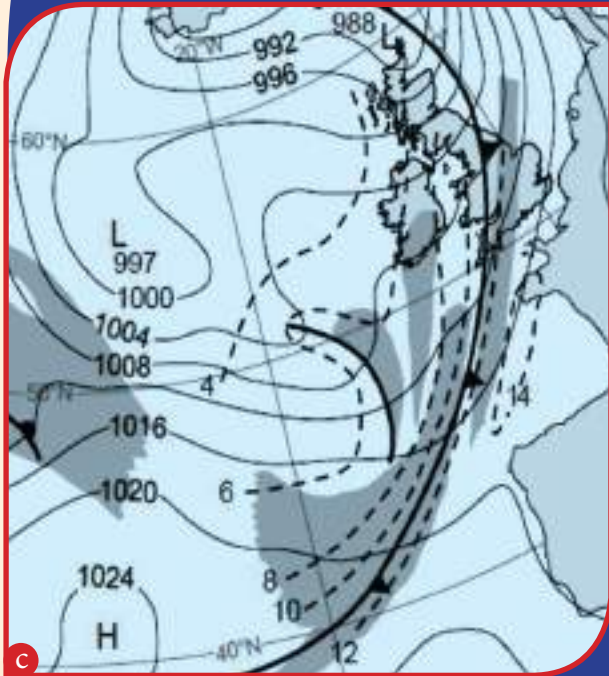
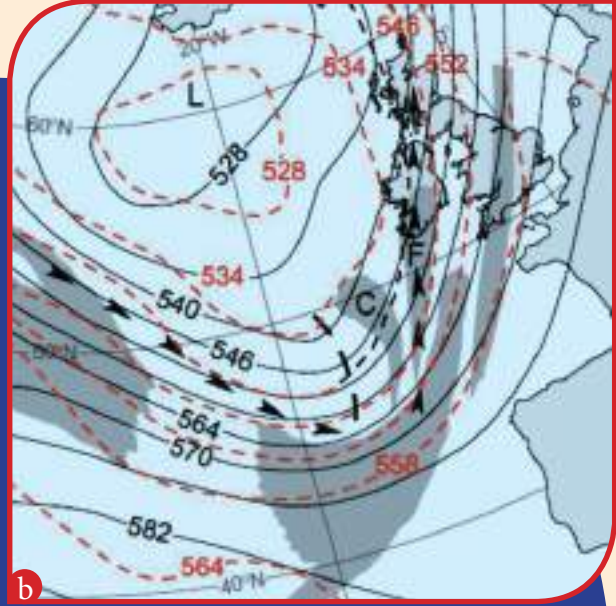
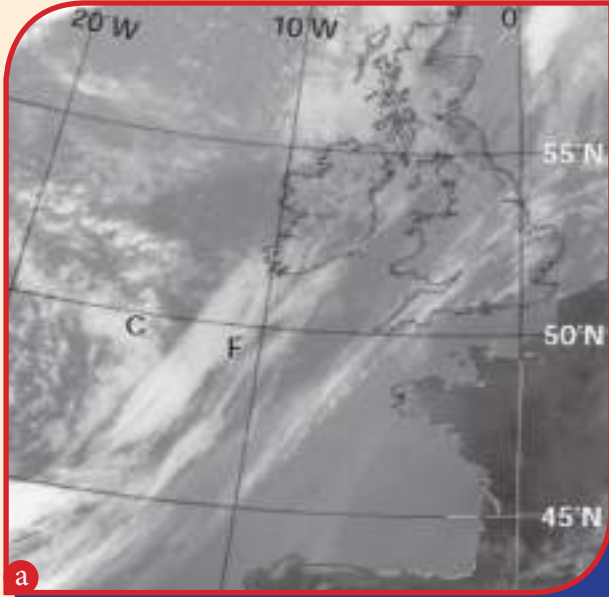


«شكل 2»
صور الأشعة
تحت الحمراء من
القمر الصناعي
GOES فوق
المحيط الهادئ
في (a) 21:45
توقيت عالمي
ليوم 17 نوفمبر
1987.
(b) 03:45
توقيت عالمي
ليوم 18
نوفمبر 1987.
(c) 15:45
توقيت عالمي
ليوم 18 نوفمبر
1987، والتي
توضح الموجة
المحفزة لتولد
المنخفض. F
هي السحابة
الرئيسية للجبهة
و E السحابة
الظاهرة من تحت
السحابة F وال
C هي السحابة
المنعزلة والمنكونة
أمام موجة الترف
القصيرة في
الهواء البارد خلف
الجبهة الرئيسية.

«مثال - ٢»:

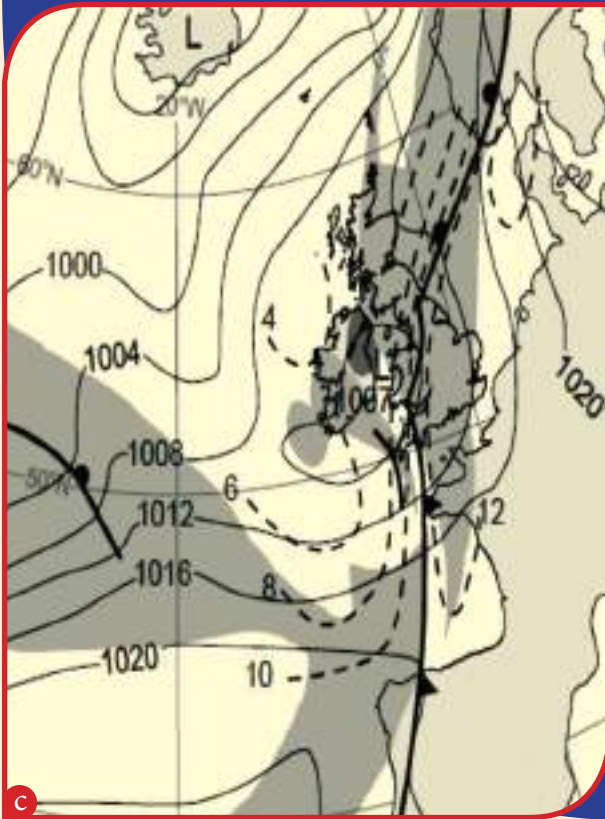
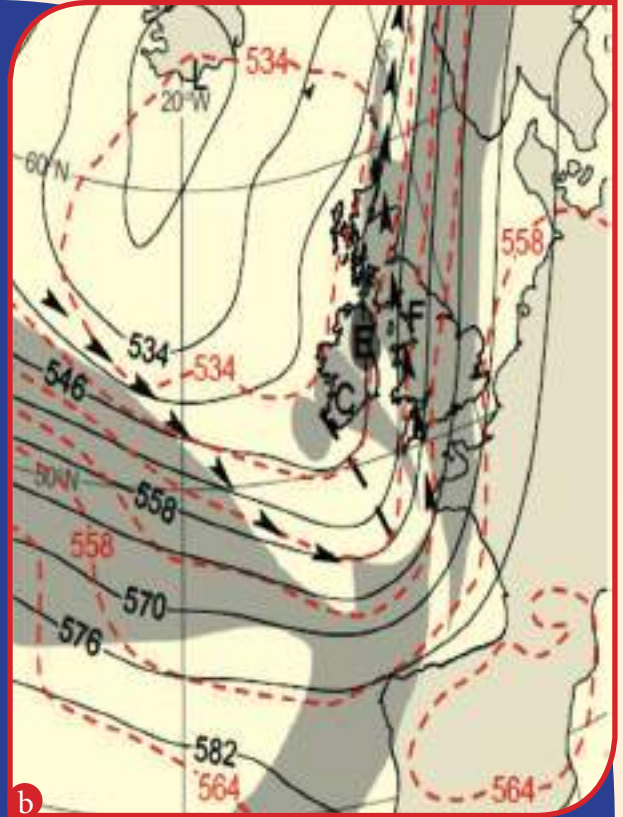
نطاق السحابة الرئيسية F والذي يساعد على اتساعها وتطورها وتولد الحركة السيكلونية المكونة للمنخفض، أشكال ٣ و٤ و٥-C وفي النهاية يظهر شكل خطاف بوضوح بدخول التيار الهوائى الجاف وتندمج السحابتين C، شكل 5 - a. العلاقة ما بين أشكال وأنماط السحب مع خرائط طبقات الجو العليا واضحة فى أشكال من 3 - 5 - F، شكل 4 - a. والتباين الحرارى الأساسى يظل ضمن (b).

تتكون السحابة الحملية الكُما فى الموجة القصيرة، C، والتي تقترب من السحابة الرئيسية الضعيفة F، «شكل - 3» ومع ذلك، كلما اقتربت السحابة C من السحابة F، فإن سحابة الجبهة الرئيسية F تتسع وتتطور لتأخذ شكل حرف S وتبدأ السحابة E فى الظهور من أسفل السحابة F، شكل 4 - a. والتباين الحرارى الأساسى يظل ضمن



«شكل - 3»:

(a) صورة الأشعة تحت الحمراء من NOAA 9 ساعة 18:14، 6 ليوم يونيو 1986. F هي سحابة الجبهة، والـ C هي السحابة المتكونة أمام موجة الترف القصيرة فى الهواء البارد. خريطة طبقات الجو العليا فى نفس التوقيت، يتضح فيها خطوط الارتفاعات 500 هـ.ب (خطوط سوداء متصله، بوحدة gpm) ، خطوط سمك الطبقة من 500-1000 هـ.ب (خطوط حمراء متقطعة، بوحدة gpm) ، ومحور التيار الهوائى النفاث (أسهم سوداء) توقيت 15:00 ت.ع. (c) خليل خطوط تساوى الضغط السطحيه، بوحدة هـ.ب توقيت 15:00 ت.ع.

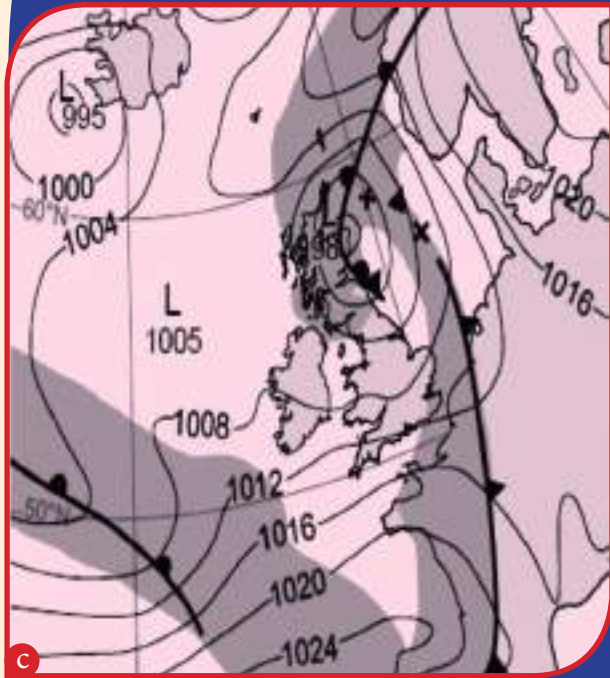
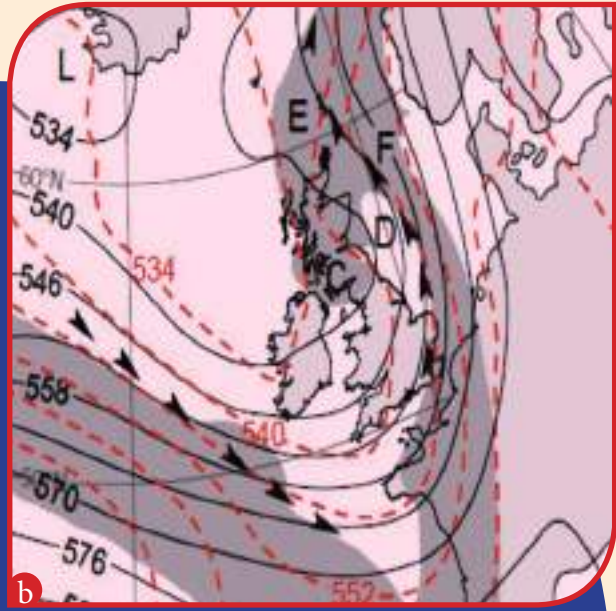
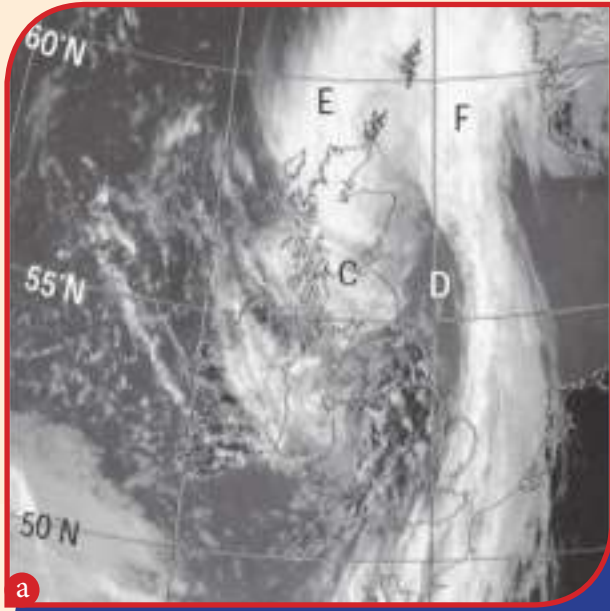


«شكل - 4»:

(a) صورة الأشعة تحت الحمراء من NOAA 9 الساعة 14:00 يوم 10 يونيو 1986. F هي سحابة الجبهة، و C هي السحابة المتكونة أمام موجة الترف القصيرة في الهواء البارد.

(b) خريطة طبقات الجو العليا في نفس التوقيت، يتضح فيها خطوط الارتفاعات 500 هـ.ب (خطوط سوداء متصله ، بوحدة gpm) ، خطوط سمك الطبقة من 500-1000 هـ.ب (خطوط حمراء متقطعة ، بوحدة gpm) ، ومحور التيار الهوائى النفاث (أسهم سوداء) توقيت 03:00 ت.ع. تحليل خطوط تساوى الضغط السطحيه، بوحدة هـ.ب توقيت 03:00 ت.ع.

< لاحظ أن الصور (b) & (c) وقتها مبكراً ساعة عن صورة الأقمار الصناعية في (a).



«شكل - 5»:

(a) صورة الأشعة تحت الحمراء من NOAA 9 ساعة 08 : 14 ت.ع ليوم 10 يونيو 1986. F هي سحابة الجبهة، والـ E هي السحابة المتكونة من أسفل السحابة F، والـ D هو غزو الهواء الجاف خلف الجبهة الباردة.

(b) خريطة طبقات الجو العليا في نفس التوقيت، يتضح فيها خطوط الارتفاعات 500 هـ.ب (خطوط سوداء متصلة بوحدة gpm)، خطوط سمك الطبقة من 500-1000 هـ.ب (خطوط حمراء متقطعة بوحدة gpm)، ومحور التيار الهوائي النفاث (أسهم سوداء) توقيت 15 : 00 ت.ع. (c) تحليل خطوط تساوي الضغط السطحية، بوحدة هـ.ب توقيت 15 : 00 ت.ع.

ما تلاحظ تلك العلامة مع التدفق المفلطح أمام للترف العلوي؛ هذا النمط يكون مصاحب لتولد الجبهات بصورة أكثر من تولد المنخفضات. ولذلك، يظل شكل حزمة السحب كما هو بدون تغير لمدة يوم مع تحركها المصاحب لحركة الترف العلوي السريع. يبدأ ظهور موجة قصيرة والتي تتولد في منطقة محدودة من التيارات الصاعدة والتي تكون ضرورية لتولد المنخفضات.

«ب»- الحوض المفلطح، التدفق المتجم

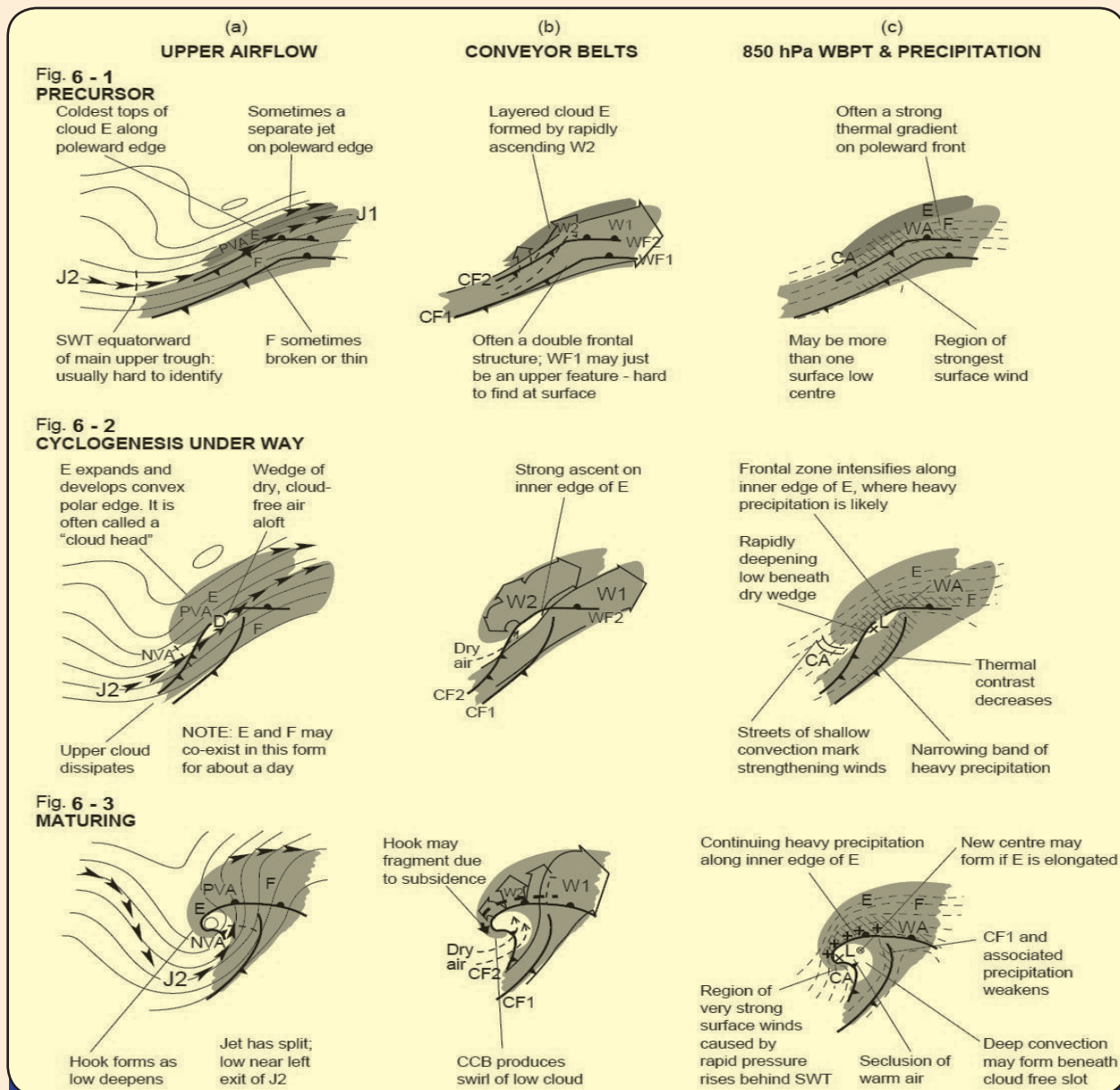
Flat trough, confluent flow (cloud head)

نلاحظ ظهور منطقة بارزة من السحب E والتي تقع في التدفق الهوائي من جهة القطب للسحابة F. من الممكن أن تظهر السحابة E من أسفل السحابة F، تتطور منفردة في التدفق الهوائي الصاعد، أو تتشكل من حزمة سحب لجبهة باردة سابقة للجبهة الرئيسية، «شكل - 6» غالباً

(Böttger, Eckardt & Katergiannakis, 1975; Monk and Bader, 1988)

هذه العلامة الفريدة تكون غالباً مصاحبة لتطور سريع لمنخفض جوى عنيف والذي يصاحبه رياح سطحية شديدة السرعة (McCallum and Norris, 1990).

عندما تصبح السحابة E عريضة بشكل مميز (حوالي 300 كم عرض)، وشكلها يكون واضح بشكل محدد من جهة الحافة القطبية. وتنفصل عن السحابة F عن طريق غزو الهواء الجاف، D، والتي غالباً ما توصف برأس السحابة



(شكل - 6): مخطط لتولد منخفضات العروض الوسطى في الترف المفلطح المصاحب للتدفق المتجمع (a) نمط التدفق العلوي على 300 هـ.ب. ومخطط السحاب الرئيسي للجبهة كما هو ظاهر على صور الأشعة تحت الحمراء IR. (b) نموذج للتدفق الهوائي عن طريق الحزام الهوائي النقال W_1 & W_2 . (c) خطوط θ_w على 850 هـ.ب. وأماكن هطول الأمطار «شكل 6-1» مرحلة ما قبل تكون المنخفض. «شكل 6-2» مرحلة أثناء تكون المنخفض. «شكل 6-3» مرحلة تطور المنخفض.

يتحرك بسرعة مع تدفق هوائى علوى عنيف (خرائط التنبؤات العددية لاتشير الى وجود ترف قصير الموجة) ويصبح الجزء من السحابة O المتحرك أمام الترف القصير الموجى كوئشر وعلامة لذلك والذي يسمى بعد ذلك بالسحابة E. نظرًا لأن التباين الحرارى الرئيسى يقع على طول السحابة E، شكل 8 - b، فقد تمت إعادة تحليل E كموجة مفتوحة، شكل 8 - c، تشتمل على جبهات دافئة وباردة (WF2 و CF2) مع استمرار مصاحبة السحابة F للجبهات CF1 و WF1.

تصبح السحابة E أقل تعريفًا وأكثر خشونة (قارن شكل 8 - a مع شكل 9 - a) مما يشير إلى أن التعمق لن يصبح سريعًا بشكل استثنائي.

يشير خطاف السحب المنخفضة H (شكل 8 - a، صورة VIS) إلى وجود دوران قوى على السطح.

تشير الشوارع الضيقة للسحابة الحملية «Streets» S (شكل 10 - a) إلى تدفق هوائى شديد على السطح من كتلة الهواء الباردة خلف المنخفض (شكل 10 - c) حيث سجلت متوسط سرعة الرياح 40 عقدة.

يكون من الملاحظ زيادة سريعة فى الضغط الجوى على السطح خلف الترف العلوى المتجمع لهذا النوع من تولد المنخفضات مسبباً رياح شديدة بالقرب من طرف خطاف السحب، غالباً ما يظهر تحرك سريع للسحب المنخفضة من أسفل السحب العلوية فى هذه المنطقة من حزم السحب الرئيسية.

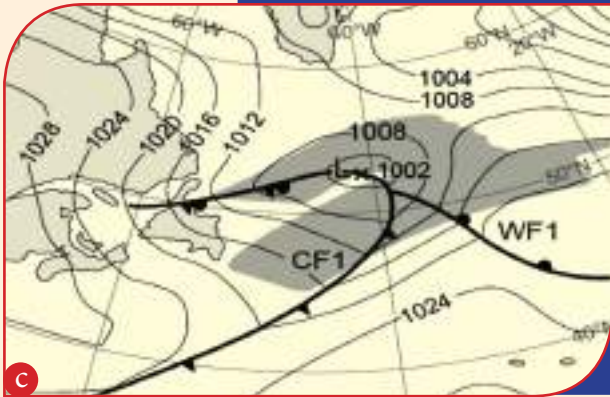
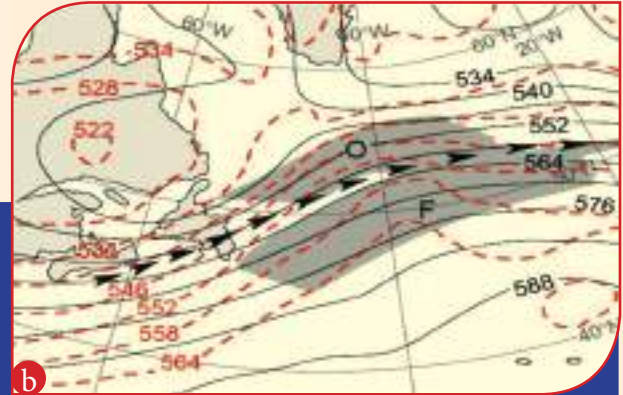
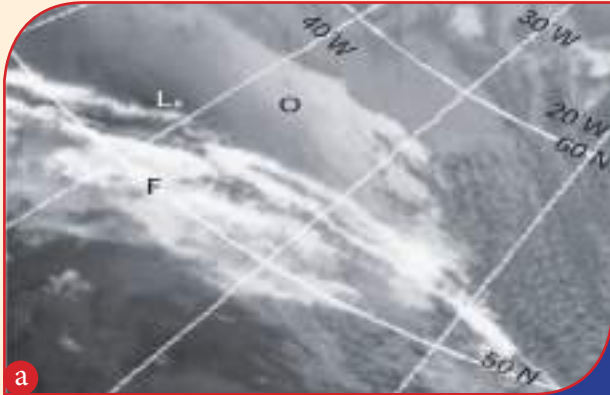
«مثال - ٢»:

هذا المثال (أشكال من 7 - 11) توضح بعض المفاهيم التي قدمت فى الأشكال التوضيحية السابقة، المنخفض السطحى لا يظهر بوضوح كما فى الحالات السابقة عند ملاحظة قمم السحب فى صور الأقمار الصناعية.

مصدر السحابة E هو امتداد من السحابة O، شكل 7 - a، 8 - a لأخود قديم (noislccO dlO)، شكل 7 - c، جهة القطب من السحابة F. مع ملاحظة أن السحابة O تكون قمتها أدفاً من السحابة F.

يوجد امتداد للمنخفض الجوى من الحافة الداخلية للسحابة O، شكل 7 - a، c.

تبدأ السحابة O فى التبدد عند خط طول 38 غرباً، شكل 8 - a، تقريباً خلف ترف قصير الموجى، A،

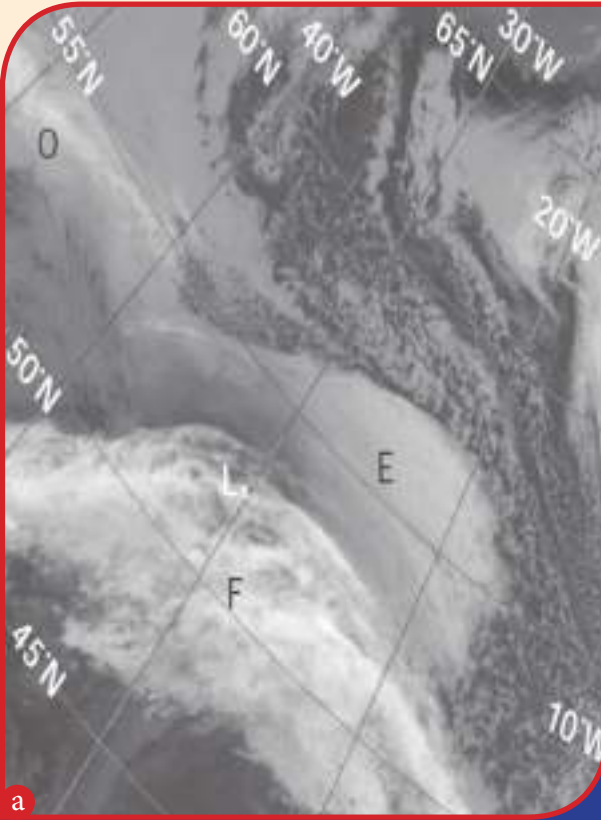


«شكل - 7»:

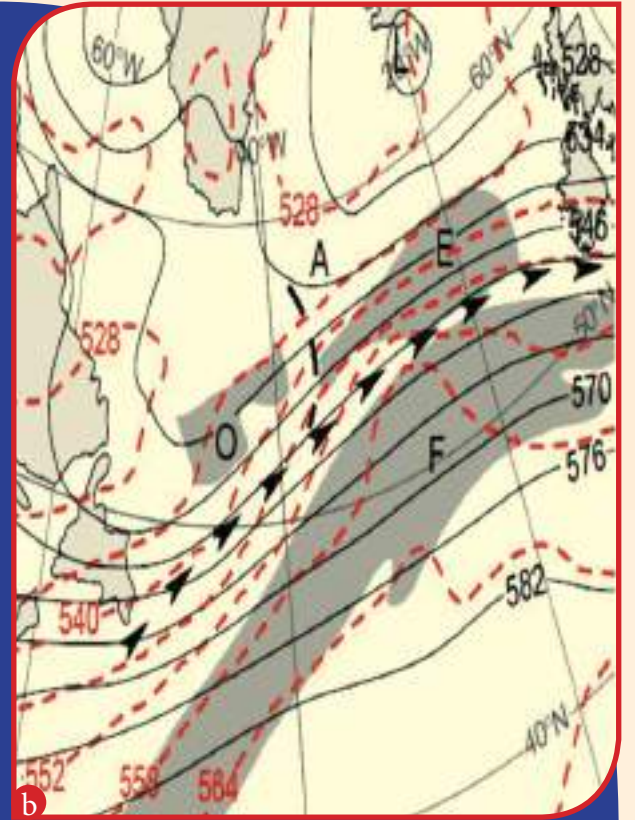
(a) صورة الأشعة تحت الحمراء من METOSAT ساعة 06: 00 ت.ع ليوم 7 أكتوبر 1988 تظهر منطقة السحب O. المصاحبة لأخود قديم، والسحب L_xF هو مركز المنخفض الجوى على السطح.

(b) خريطة طبقات الجو العليا فى نفس التوقيت. يتضح فيها خطوط الارتفاعات 500 هـ.ب (خطوط سوداء متصلة بوحدة gpm) خطوط سمك الطبقة من 500-1000 هـ.ب (خطوط حمراء متقطعة بوحدة gpm) ومحور التيار الهوائى النفاث (أسهم سوداء).

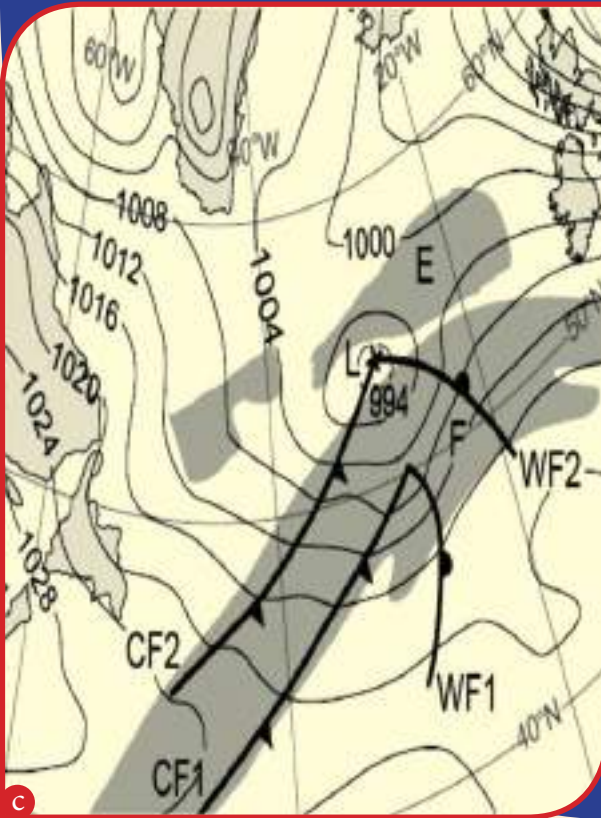
(c) تحليل خطوط تساوى الضغط السطحية بوحدة هـ.ب عند نفس الوقت.



a



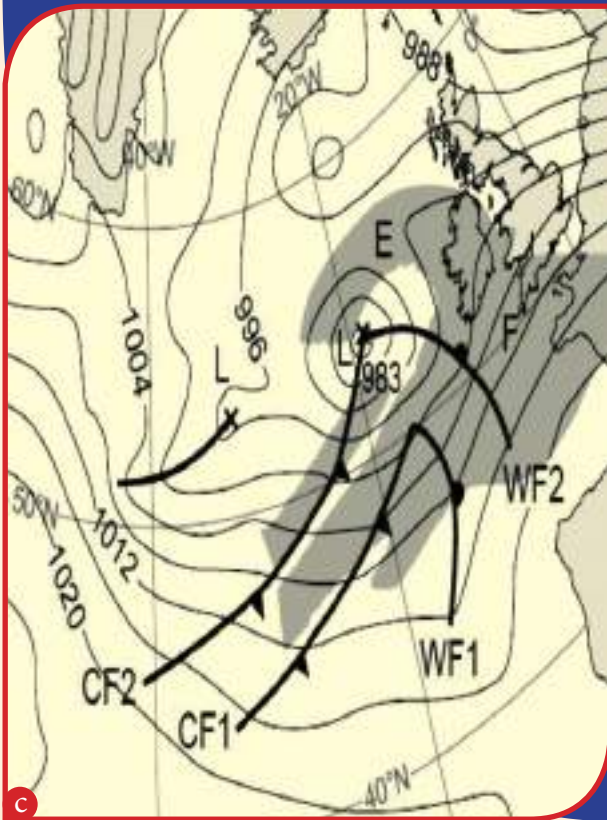
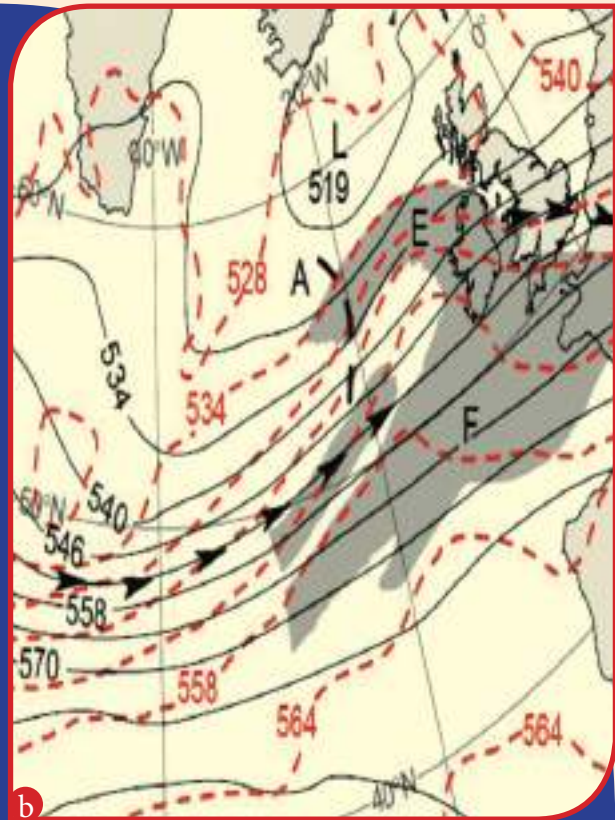
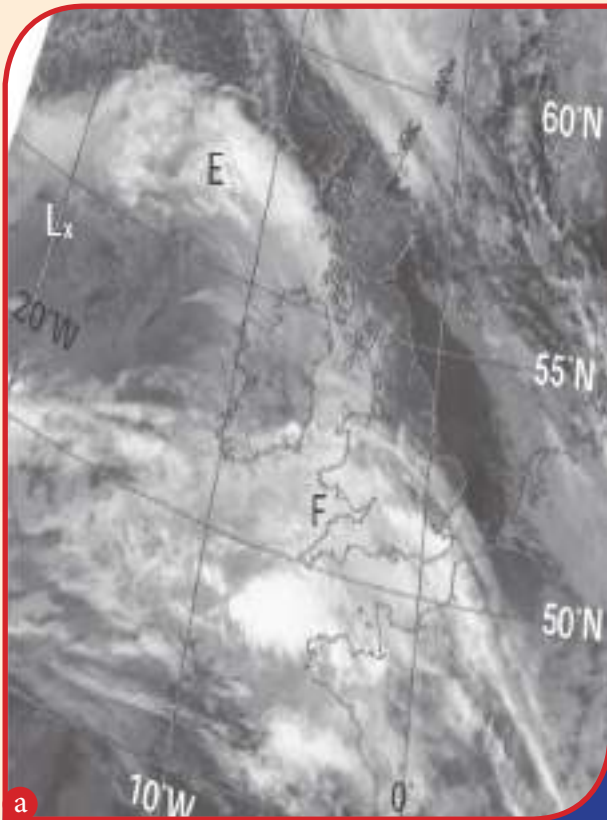
b



c

«شكل - 8»:

(a) صورة الأشعة تحت الحمراء من NOAA 9 الساعة 17:04 ت.ع ليوم 7 أكتوبر 1988. O.E.F. هي مناطق سحب L_x هو مركز المنخفض الجوي على السطح. (b) خريطة طبقات الجو العليا في نفس التوقيت يتضح فيها خطوط الارتفاعات 500 هـ.ب (خطوط سوداء متصلة بوحدة gpm) خطوط سمك الطبقة من 500-1000 هـ.ب (خطوط حمراء متقطعة، بوحدة gpm) ومحور التيار الهوائي النفاث (أسهم سوداء) توقيت 18:00 ت.ع. (c) تحليل خطوط تساوي الضغط السطحية، بوحدة هـ.ب توقيت 15:00 ت.ع. «A» هو المكان المحتمل للترف القصير الموجه المستنتج من صورة الأقمار الصناعية.

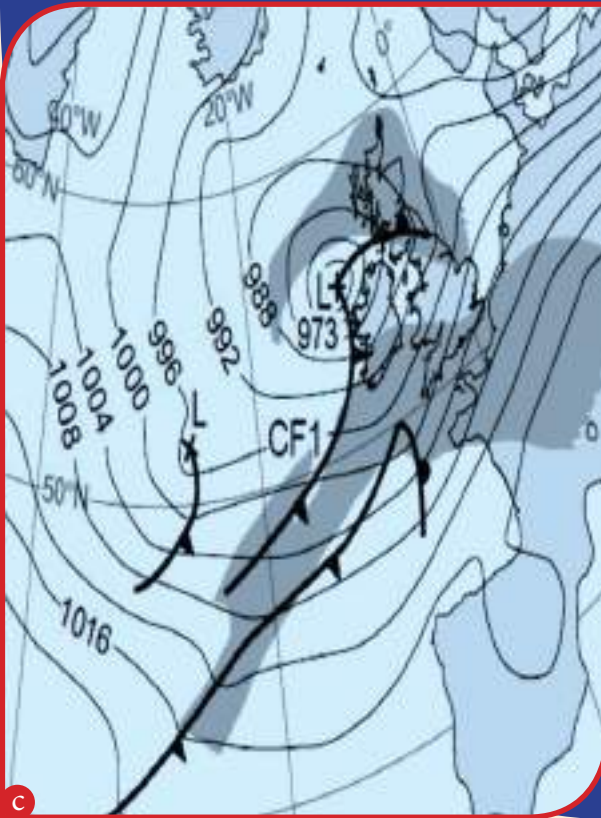
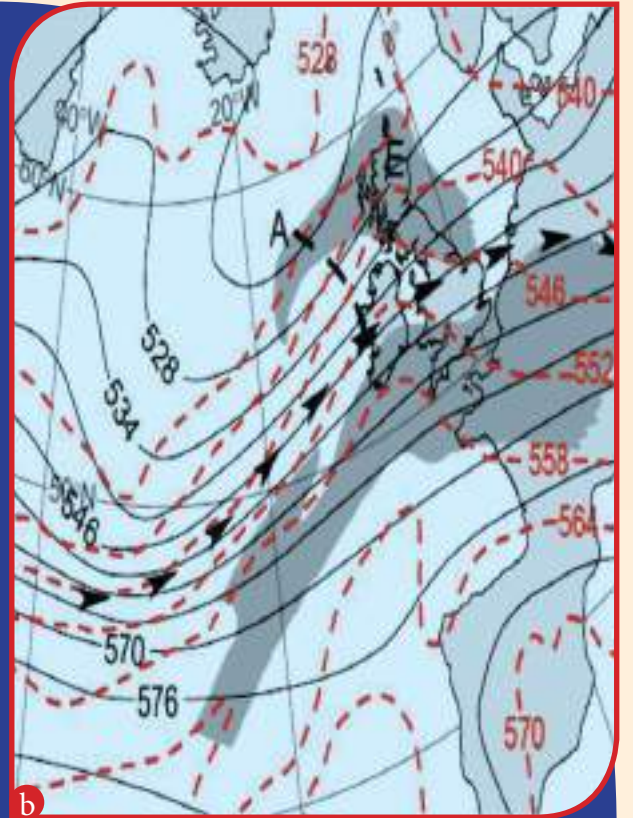
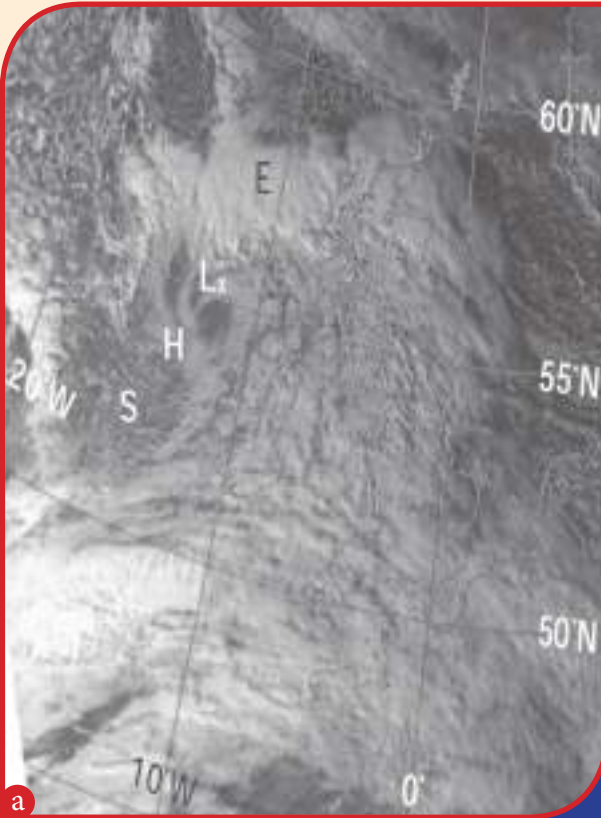


«شكل - 9»

(a) صورة الأشعة تحت الحمراء من METOSAT ساعة 08:27 ت.ع ليوم 8 أكتوبر 1988 تظهر منطقة السحب O، المصاحبة لأخدود قديم، والسحب F، L_x هو مركز المنخفض الجوي على السطح.

(b) خريطة طبقات الجو العليا في نفس التوقيت، يتضح فيها خطوط الارتفاعات 500 هـ.ب (خطوط سوداء متصلة بوحدة gpm) خطوط سمك الطبقة من 500-1000 هـ.ب (خطوط حمراء متقطعة بوحدة gpm) ومحور التيار الهوائي النفث (أسهم سوداء).

(c) تحليل خطوط تساوي الضغط السطحية، بوحدة هـ.ب عند 06:00 ت.ع.

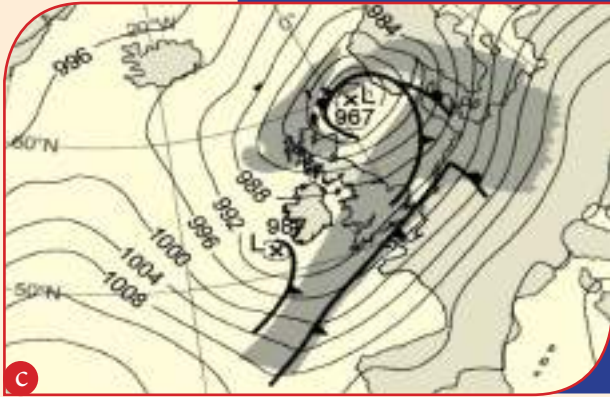
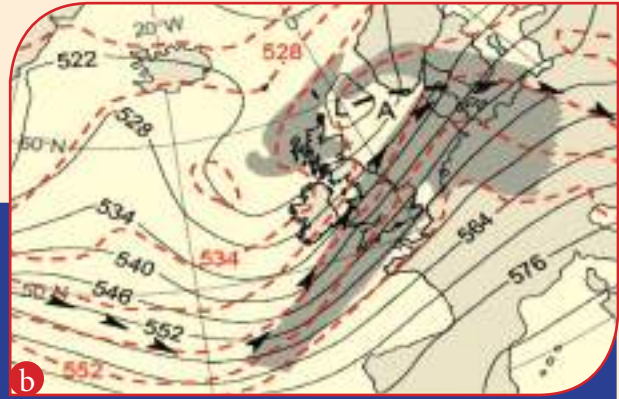
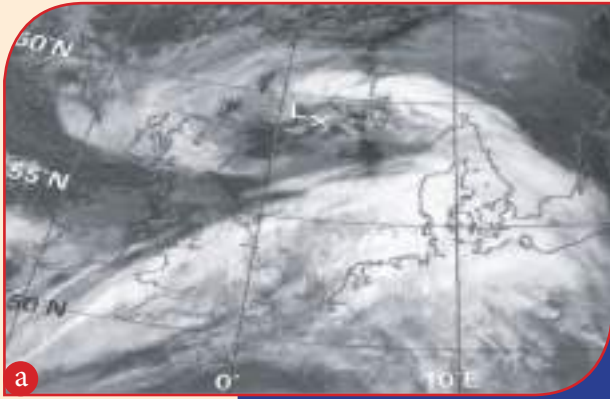


«شكل - 10»

(a) صورة مرئية من NOAA 9 ساعة 15:11 ت.ع ليوم 8 أكتوبر 1988. E.H. هي مناطق سحب. L_x هو مركز المنخفض الجوي على السطح.

(b) خريطة طبقات الجو العليا في نفس التوقيت. يتضح فيها خطوط الارتفاعات 500 هـ.ب (خطوط سوداء متصله ، بوحدة gpm) خطوط سمك الطبقة من 500-1000 هـ.ب (خطوط حمراء متقطعة بوحدة gpm) ومحور التيار الهوائي النفاث (أسهم سوداء) توقيت 15:00 ت.ع.

(c) تحليل خطوط تساوي الضغط السطحية. بوحدة هـ.ب توقيت 15:00 ت.ع.



«شكل 11-»:

(a) صورة الأشعة تحت الحمراء من NOAA 9 ساعة 05:06 ت.ع ليوم 9 أكتوبر 1988 تظهر منطقة السحب O. المصاحبة لأخدود قديم، والسحب F. هو مركز المنخفض الجوي على السطح.

(b) خريطة طبقات الجو العليا في نفس التوقيت، يتضح فيها خطوط الارتفاعات 500 هـ.ب (خطوط سوداء متصلة بوحدة gpm) خطوط سمك الطبقة من 500-1000 هـ.ب (خطوط حمراء متقطعة بوحدة gpm) ومحور التيار الهوائي النفاث (أسهم سوداء). (c) تحليل خطوط تساوي الضغط السطحيه، بوحدة هـ.ب عند 06:00 ت.ع.

المراجع

- Böttger, H., M. Eckardt and U. Katergiannakis (1975)** Forecasting extratropical storms with hurricane intensity using satellite information. J. Appl. Meteorol., 14, 1259 - 65.
- M. J. Bader, G. S. Forbes, J. R. Grant, R. B. E. Lilley, A. J. Waters, (1995):** Images in weather forecasting, «A practical guide for interpreting satellite and radar imagery», Great Britain the University Press, Cambridge.
- Marshall, T. A. (1982)** Weather Satellite Picture Interpretation (London, Directorate of Naval Oceanography and Meteorology, Ministry of Defense).
- McCallum, E. and W. J. T. Norris (1990)** The storms of January and February 1990. Meteorol. Mag., 119, 201- 10.
- McLennan, N. and L. Neil (1988):** Marine bombs program (phase II). Pacific Region tech. note 88 - 002.
- Monk, G. A. and M. J. Bader (1988)** Satellite images showing the development of the storm of 15»16 October 1987. Weather, 43, 130 - 5.
- Young, M. V. (1993):** Cyclogenesis: interpretation of satellite and radar images for the forecaster. Forecasting Research division tech. report 73 (Bracknell, UK, Meteorological Office), unpublished.

مقدمة فى المناخ



د/ كمال فهمى محمد
خبير باحثين بالإدارة المركزية للتدريب
المراجعة العلمية
د. أشرف صابر زكى

ورعد وفيضانات وكذلك الأعاصير وموجات الطقس القاسى سواء الحرارة أو الباردة. يمكن وصف المناخ من خلال الأوصاف الإحصائية لتغير العناصر الجوية درجة الحرارة والهطول والضغط الجوى والرطوبة والرياح، أو من خلال أنواع الظواهر الجوية التى هى نموذجية وسائدة للموقع أو المنطقة أو العالم ككل لأى فترة زمنية.

النظام المناخي

٢-٢ النظام المناخي

هو نظام تفاعلى معقد يتكون من الغلاف الجوى والغلاف المائى والغلاف الجليدى والغلاف الحيوى «كائنات حية» وسطح الأرض شكل (١).

الغلاف الجوى

هو الغلاف الغازى المحيط بالأرض.. يتكون الجو الجاف تقريباً من النيتروجين والأكسجين بنسبة تتعدى ٩٩٪، ولكنه يحتوى أيضاً على كميات صغيرة من الأرجون والهيليوم وثانى أكسيد الكربون والأوزون والميثان والعديد من الغازات الأخرى.. يحتوى

١- المناخ

علم المناخ معنى بدراسة المناخ وتغيره وكذلك تأثيراته على مجموعة متنوعة من الأنشطة البشرية كالزراعة والرى وصحة الإنسان وسلامته...إلخ.

المناخ يعرف على أنه متوسط الأحوال الجوية «عناصر وظواهر» السائدة لموقع معين ولفترة زمنية معينة. أوصت المنظمة العالمية للأرصاد الجوية بأن يكون حساب متوسط الاحوال الجوية لفترة زمنية حول ٣٠ سنة.. بينما الطقس هو الحالة الجوية الحالية والمتوقعة لموقع معين وخلال فترة قصيرة من الزمن ويتم التنبؤ بها من خلال مرافق الارصاد الجوية لفترة قد تصل إلى ١٠ أيام.

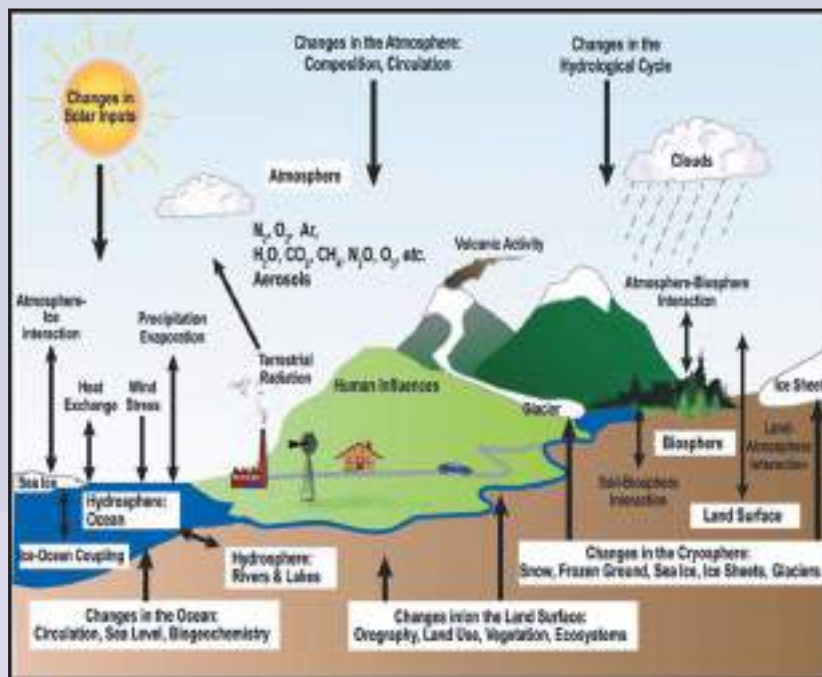
عناصر الاحوال الجوية كدرجة الحرارة والضغط الجوى والرياح «سرعة واتجاه» والرطوبة النسبية والسحب والهطول وفترة سطوع الشمس بينما الظواهر تشمل العواصف الترابية وما يصاحبها من انخفاض للرؤية والعواصف الرعدية وما قد يصاحبها من برق

”

مقدمة

للمناخ أهمية كبيرة فى مختلف نواحي الحياة على سطح كوكب الارض ولذلك تعطى معظم دول العالم أهمية كبيرة لدراسة المناخ وذلك لتحقيق أكبر عائد فى إنتاجها الزراعى والصناعى لصالح شعوبها.. والتنوع المناخى على كوكب الارض له العديد من المنافع على الإنسان والحيوان والنبات. فالتنوع المناخى أدى إلى حدوث تنوع فى النباتات والحيوانات وطبيعة السكان والمهن التى يعملون بها وأدى هذا التنوع إلى زيادة فى الإنتاج الحيوانى والنباتى وتكامل فى الانشطة البشرية لصالح رفاهية الانسان.

“



شكل (1) النظام المناخي

الغلاف الجوي أيضاً على بخار الماء، وقطرات الماء المكثفة أو المجمدة في شكل السحب، والهباء الجوي «الايروسولات».. كيفية تأثير الغلاف الجوي على المناخ نبدأها بافتراض تخيلي ماذا لو لم يكن هناك غلاف جوي مرتبط بكون كوكب الأرض؟ الإجابة سيكون متوسط درجة حرارة كوكب الأرض -18 درجة سيليزية محسوبة فلكياً وبوجود الغلاف الجوي بتركيبته الطبيعية دون وجود لتأثير النشاطات البشرية صارت درجة الحرارة المقدرة فلكياً حوالي 14 درجة وهذا كنتيجة لوجود بعض الغازات بصورة طبيعية ولا تمثل نسبة كبيرة في تركيب الغلاف الجوي مثل ثاني أكسيد الكربون والاوزون والميثان واكسيد النيتروز وبخار الماء والتي تقوم بامتصاص الأشعة تحت الحمراء الحرارية وحفظها في كوكب الأرض وهذه الظاهرة تسمى ظاهرة الاحتباس الحراري الطبيعية.. ومن هنا بدأت فكرة التغير المناخي حيث إنه من البديهي بزيادة تركيز هذه المولوثات كنتيجة للنشاطات البشرية ترتفع درجة الحرارة وهذا ما سنتكلم فيه لاحقاً.. أما غازات النيتروجين والاكسجين والارجون والتي تمثل معظم تركيب الغلاف الجوي بنسبة تزيد على 99% فليس لها تأثير على الحرارة سواء من الشمس أو الأرض.

الغلاف المائي

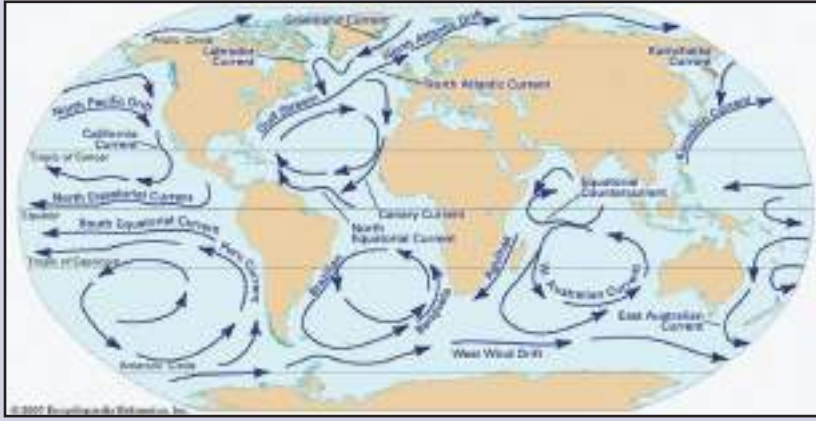
يعني كميات الماء في صورتها السائلة في كوكب الأرض والموجودة في المحيطات والبحار والأنهار والمياه الجوفية.. تغطي المحيطات حوالي 70% من سطح الأرض يقومون بتخزين ونقل كمية كبيرة من

أيضاً من خلال تدرج درجات الحرارة وتدرج الملوحة، ودوران الأرض، والمد والجزر «الأثار الجاذبية للشمس والقمر».. وتتدفق أنظمة التيار الرئيسية عادة في اتجاه عقارب الساعة في نصف الكرة الشمالي وعكس اتجاه عقارب الساعة في نصف الكرة الجنوبي، في أنماط دائرية غالباً ما تتبع الخطوط الساحلية.

تعمل التيارات المحيطية مثل الحزام الناقل، حيث تنقل الماء الدافئ والهطول من خط الاستواء نحو القطبين والماء البارد من القطبين إلى المناطق الاستوائية. وهكذا تنظم التيارات البحرية المناخ العالمي مما يساعد على مواجهة التوزيع غير المتكافئ للإشعاع الشمسي الذي يصل إلى سطح الأرض. وبدون التيارات ستكون درجات الحرارة الإقليمية أكثر تطرفاً فائق الحرارة عند خط الاستواء وفائق البرودة في اتجاه

الطاقة من خلال التيارات البحرية. أيضاً انحلال وتخزين كميات كبيرة من ثاني أكسيد الكربون أحد أهم غازات الاحتباس الحراري.. المحيطات تمتص غالبية إشعاعات الشمس وتحتفظ بها خاصة في المناطق المدارية حول خط الاستواء.

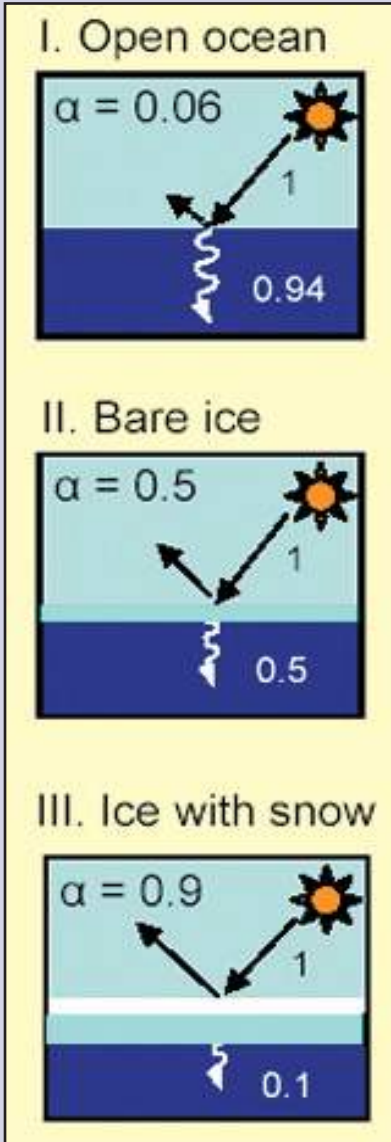
كما أن المحيطات تساعد على توزيع الحرارة في جميع أنحاء العالم. فعندما يتم تسخين جزيئات الماء تتبخر مياه المحيط مما يزيد من درجة حرارة الهواء المحيط ورطوبته ليشكل أمطار وعواصف تنقلها الرياح وتكون المناطق الاستوائية ممطرة بشكل خاص لأن امتصاص الحرارة وتبخير المحيط الأعلى في هذه المنطقة. كما أنه خارج المناطق الاستوائية للأرض يتأثر الطقس والمناخ بالتيارات البحرية الموجودة في المحيطات شكل (2). هذه التيارات تنشأ أساساً بواسطة الرياح السطحية وجزئياً



شكل (٢) التيارات البحرية

القطبين وعليه تنقل مساحة الأرض الصالحة للحياة.

بينما يصف الغلاف الجليدي المياه في حالتها المتجمدة وتشمل جميع الجليد «جليد البحر، جليد البحيرة والنهر، الغطاء الثلجي، هطول الأمطار الصلب، الأنهار الجليدية، أغطية الجليد، الصفائح الجليدية، التربة الجليدية والأرض المجمدة موسمياً». يظهر دور الغلاف الجليدي في مناخ كوكب الأرض في الالبيدو «نسبة الأشعة الشمسية المنعكس إلى الساقط» شكل (٣).



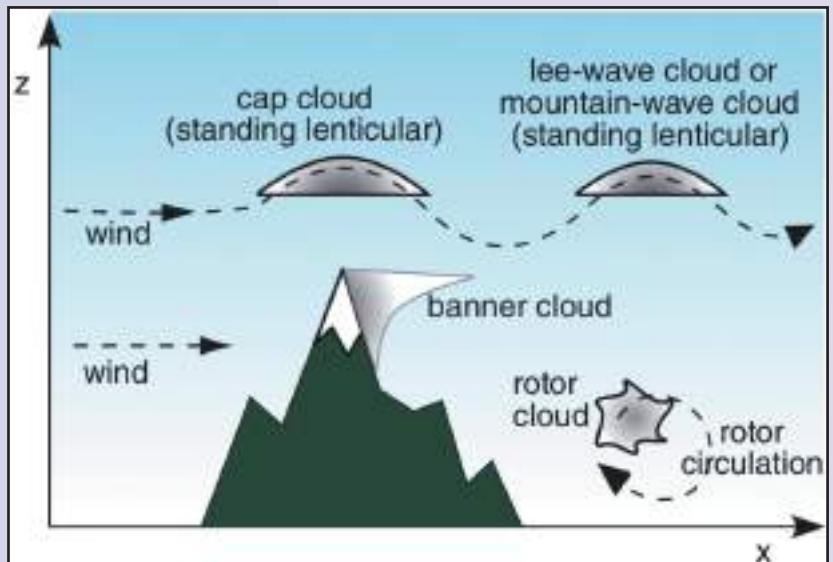
شكل (٣) الالبيدو

المتجمدة وزيادة كثافة الماء المالح ساعد في حركة التيارات البحرية. كما ان ذوبان الجليد سيساهم في تغير المناخ حيث ستقل انعكاسيته للأشعة الشمسية «انعكاسية المحيطات حوالي ٦%» يعني مزيد من الاحترار على كوكب الأرض أيضا انبعاث ثاني أكسيد الكربون المخزن تحت جليد القطبين ومزيد من الاحترار.

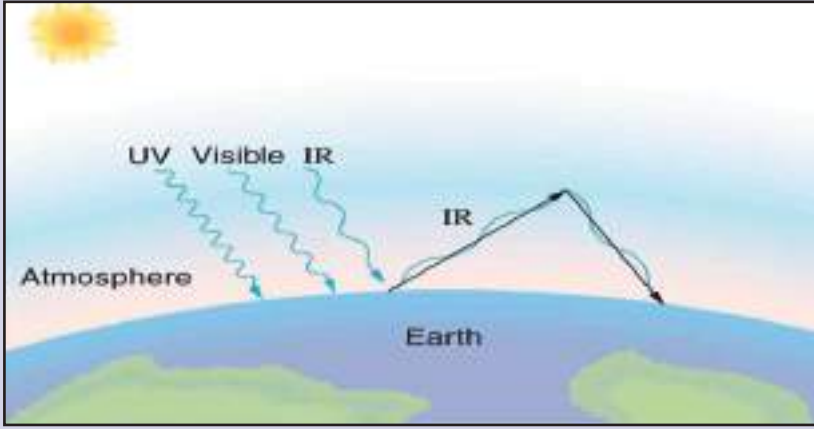
الغلاف الصخري

هو القشرة السطحية للأرض والجبال والصخور وأحواض المحيطات. الغلاف الصخري له دور

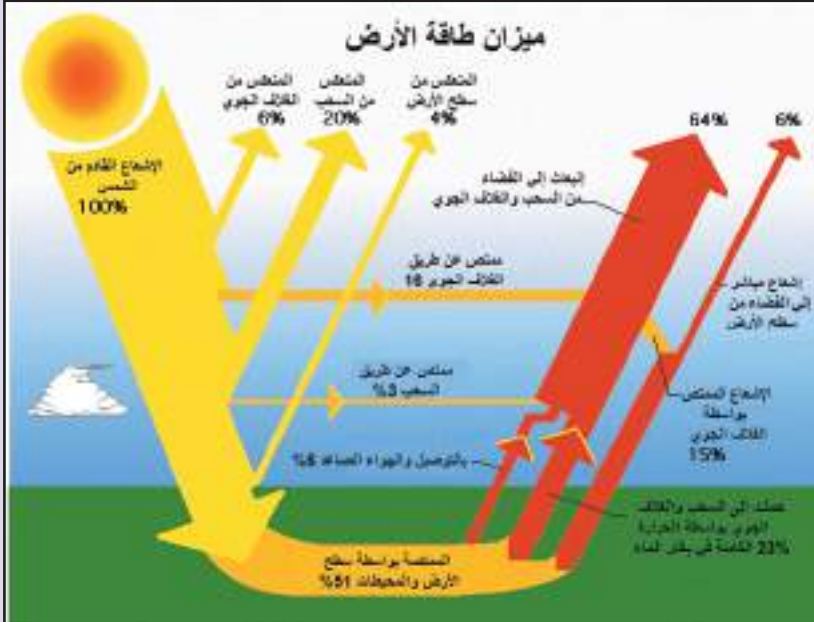
حيث قيمة الالبيدو للثلوج عالي أي يعكس حوالي ٧٠% من الأشعة الشمسية الساقط عليه قد تصل إلى ٩٠% مع تكتل الثلوج وهذا يساعد على الاتزان الحراري لكوكب الأرض ككل. ثانياً: تحريك الهواء والتيارات البحرية لنقل الطاقة وكذلك بخار الماء من خط الاستواء إلى القطبين والعكس بسبب تدرج الحرارة بين خط الاستواء والقطبين. أيضاً الغلاف الجليدي هو تجمد للمياه العذبة وبالتالي زيادة في تركيز الملوحة قريباً من المحيطات



شكل (٤) موجة سحب خيط بالجبال



شكل (٥) توضح الإشعاع الشمسي قصير الموجة الساقط والاشعة الحرارية المنبعثة من الارض



شكل «١» توضح ميزانية الطاقة على كوكب الارض «كمية الطاقة الساقطة عند قمة الغلاف الجوي تساوي كمية الطاقة الخارجة من قمة الغلاف الجوي أيضاً كمية الطاقة الساقطة على سطح الارض تساوي كمية الطاقة المنعكسة أو المنبعثة من سطح الارض».

في المناخ فمثلا الجبال بارتفاعاتها تنخفض حرارتها وتساعد في تكوين سحب الركام ووجود العواصف الرعدية وبالتالي المناطق الجبلية لها مناخ خاص شكل (٤). كما ان اختلاف الطبيعة الجيولوجية للقشرة الصلبة للأرض يؤدي إلى اختلاف في الإشعاع الحراري المنبعث منها مثلا الصحراء لها مناخ قاري.

الغلاف الحيوي

هو الحيز الذي توجد به الحياة ويمتد من أكبر عمق توجد به حياة في البحار إلى أعلى ارتفاع توجد عليه الحياة في الجبال. هناك العديد من الطرق المختلفة التي يؤثر بها المحيط الحيوي «النباتات والحيوانات وغيرها من الحياة على كوكبنا» على المناخ. ينتج البعض الغازات الدفيئة ويعزز الاحترار على كوكب الارض في حين أن البعض الآخر يقلل من كمية الغازات الدفيئة التي تعزز تبريد كوكب الارض. النباتات تمتص ثاني أكسيد الكربون من الجو أثناء عملية التمثيل الضوئي. تتنفس النباتات أيضاً ثاني أكسيد الكربون أثناء الليل وتطلق ثاني أكسيد الكربون في الهواء ولكن في المتوسط تمتص ثاني أكسيد الكربون من الجو أكثر مما تبعثه وهذا يعزز التبريد للمناخ. أيضاً يتم إنتاج غاز الميثان وهو غاز دفيء من حيوانات المزرعة مثل الأبقار والأغنام. والابعاثات من النشاطات البشرية كنتيجة لحرق الوقود الاحفوري. وحرائق الغابات والقطع الجائر للغابات وغيرها من مصادر لثاني اكسيد الكربون.

٣- الشمس

الشمس تعتبر إلى حد بعيد القوة الدافعة الأكثر أهمية للنظام

المناخ إلى الأرض. وتحت تأثيرات الإشعاع الشمسي والخصائص الإشعاعية لسطح كوكب الارض وغلافه الجوي يتحدد مناخ الأرض بالتفاعلات بين مكونات النظام المناخي. وتتناول نوعين من الاشعاع

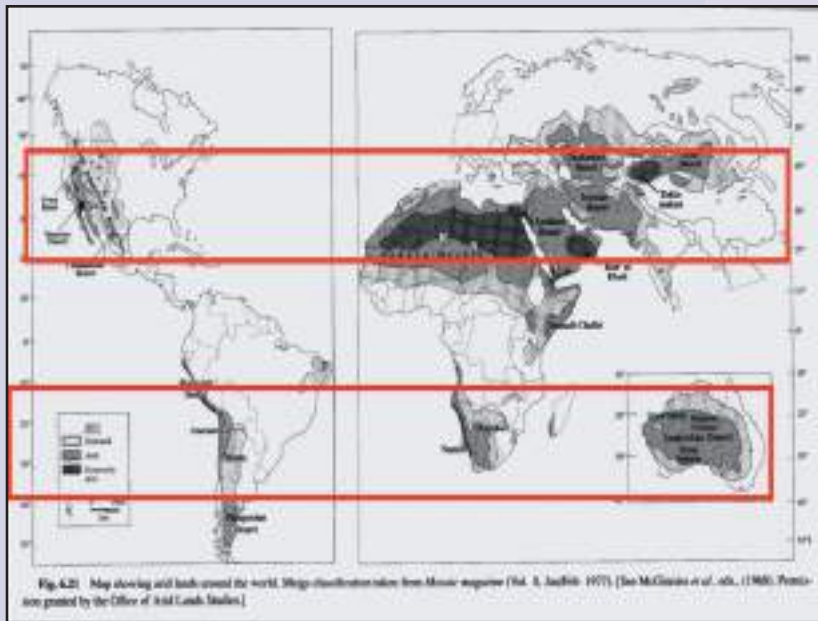
الموجه الواصل إلى كوكب الارض وهو الاشعة تحت الحمراء «حراري» والإشعاع الشمسي المرئي «الضوء» والإشعاع الشمسي فوق البنفسجي «كيميائي».

ثانياً: الإشعاع الارضى طويل الموجه والمنبعث من سطح الارض ليلاً ونهاراً وأيضاً المنبعث من بعض

أولاً الإشعاع الشمسي قصير



«شكل ٧» خرائط توزيعات الضغط والرياح

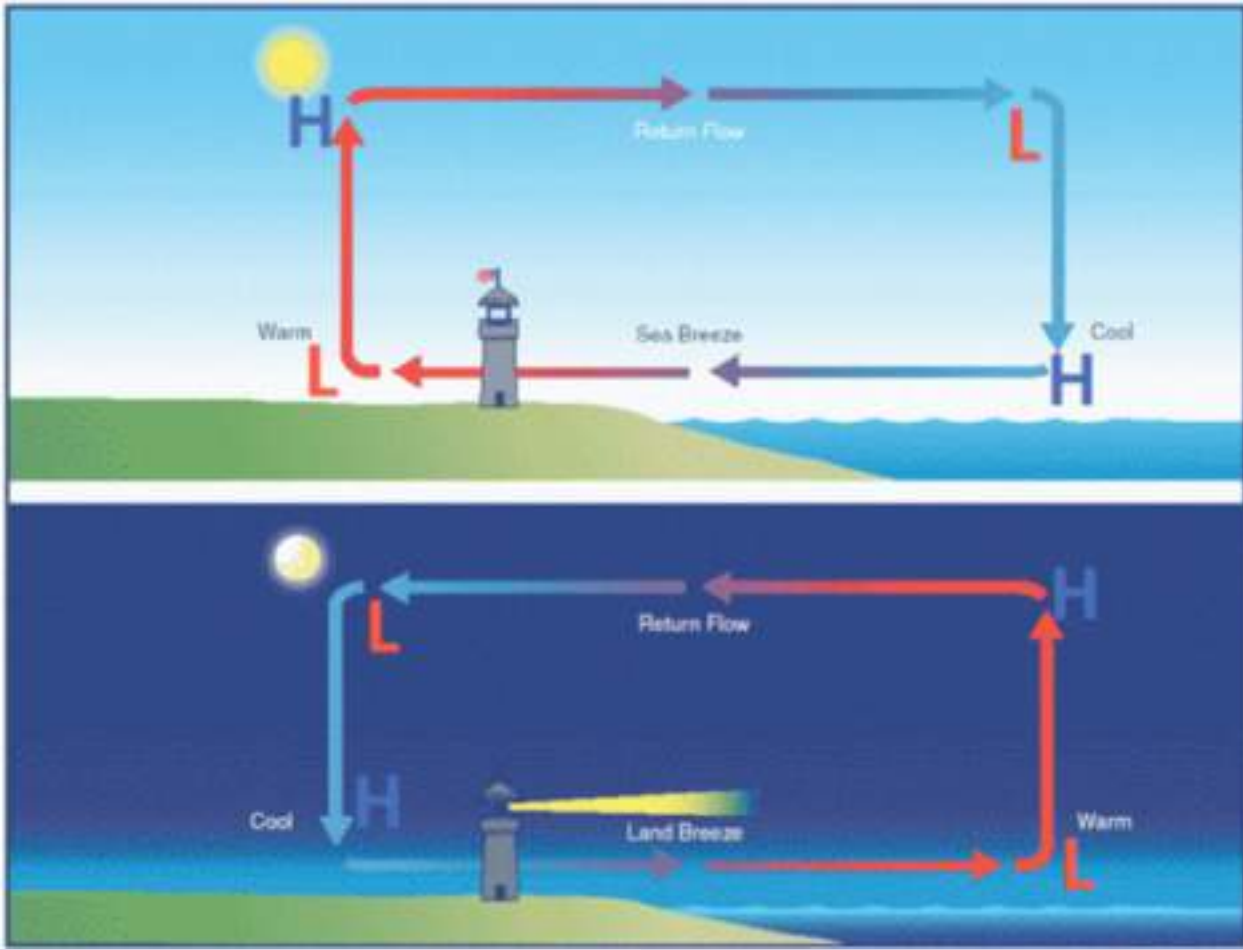


شكل «٨» توزيع الصحراء على كوكب الأرض

مكونات الغلاف الجوي كالسحب والغبار وبخار الماء وهو المسئول عن تسخين الهواء الملامس لسطح الأرض ويدوره توصيل الحرارة إلى طبقات الهواء وذلك بالحمل.

تمثل ميزانية طاقة الأرض «شكل ٦» التوازن بين الطاقة التي يتلقاها كوكب الأرض من الشمس والطاقة التي يبعثها في الفضاء مرة أخرى بعد أن يتم توزيعها على جميع أنحاء المكونات الخمسة لنظام الأرض المناخي.

وفكرة تأثير الشمس على تكوين وتوزيعات الرياح والضغط الجوي على سطح كوكب الأرض والتي تم شرحها في العدد السابق للمجلة



الهواء وبالتالي تزيد نسب الظواهر المرتبطة ببخار الماء كالضباب والسحب. أيضاً يقل المدى الحراري اليومي «أعلى درجة حرارة - أقل درجة حرارة» عكس الأماكن الداخلة في القارات والبعيدة عن المسطحات المائية. أيضاً تتواجد ظاهرتي نسيم البر ليلاً «رياح محلية من البر باتجاه البحر» ونسيم البحر نهاراً «رياح محلية من البحر باتجاه البر» شكل (٩).

٤- التضاريس فمثلاً عندما تواجه الرياح جبلاً فإن الهواء يصعد ثم يبرد ولذلك يتكثف ما به من بخار ماء مكوناً السحب الركامية الممطرة في الجهة المقابلة لاتجاه الرياح بينما تكون الجهة الخلفية

٤- العوامل التي تؤثر على المناخ

عوامل «سمات» رئيسية للأرض تعمل كعناصر تحكم مناخية لأي موقع محدد

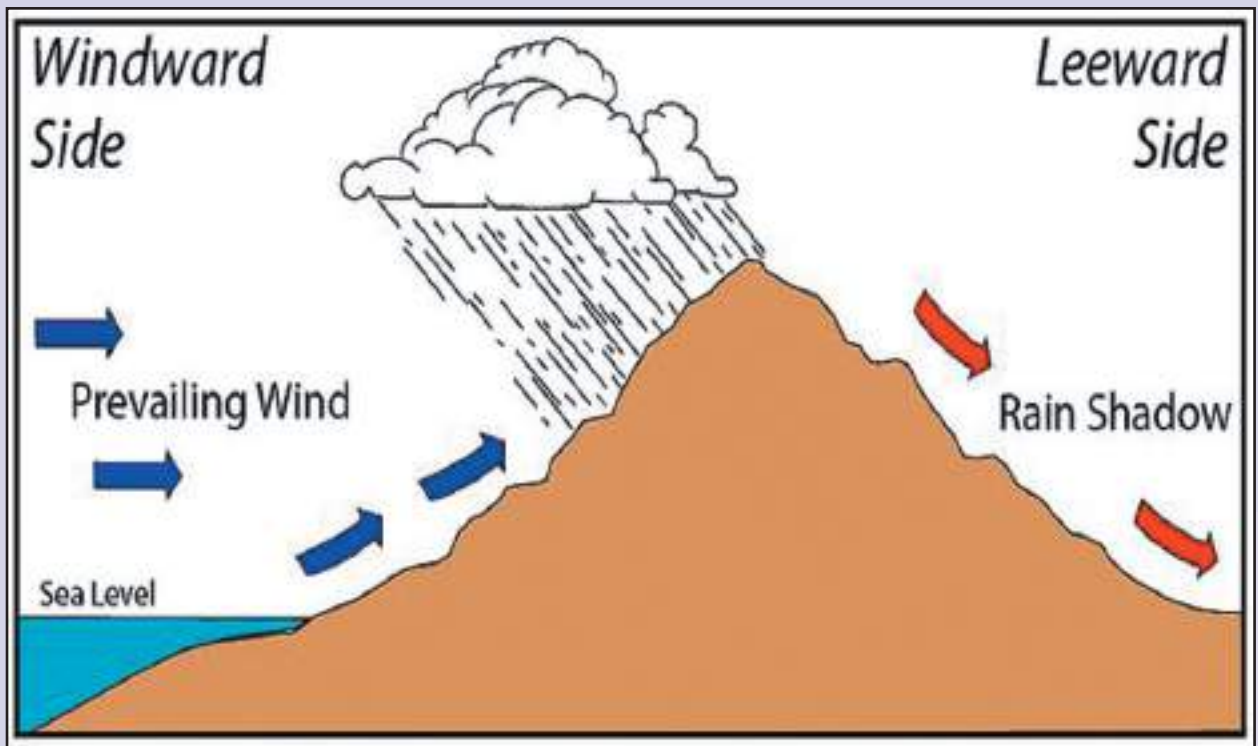
١- خط العرض فكلما اقتربنا من خط الاستواء ترتفع الحرارة بينما تنخفض الحرارة كلما ابتعدنا عن خط الاستواء.

٢- الارتفاع عن سطح الأرض لأنه بالارتفاع تقل درجة الحرارة حوالي ١٠ درجات سيليزيه لكل ١ كم للهواء الجاف بينما تكون حوالي ٦,٥ درجات سيليزيه لكل ١ كم للهواء المشبع ببخار الماء.

٣- القرب من المسطحات المائية كالمحيطات بسبب التبخير تزداد نسب بخار الماء الموجودة في

«العدد ٥٧» تحت عنوان «الدورة الهوائية العامة للرياح» وملخصها في الشكل (٧) والذي يمثل توزيعات الضغط والرياح على سطح كوكب الأرض الحقيقية وذلك بعد إدخال تأثيرات توزيعات اليابس والماء خلال فصلي الصيف والشتاء وهذا التوصيف يمثل الشكل المناخي لتوزيعات الرياح والضغط على كوكب الأرض والذي بدوره أدى إلى توزيعات محددة للأمطار والصحارى والموسميات وغيره.

توزيع الصحراء مرتبط بالدورة الهوائية العامة للرياح حيث تنتشر في مناطق المرتفعات الجوية حيث استقرار الطقس وندرة الامطار حول خط عرض ٣٠ شمالاً وجنوباً «شكل ٨».



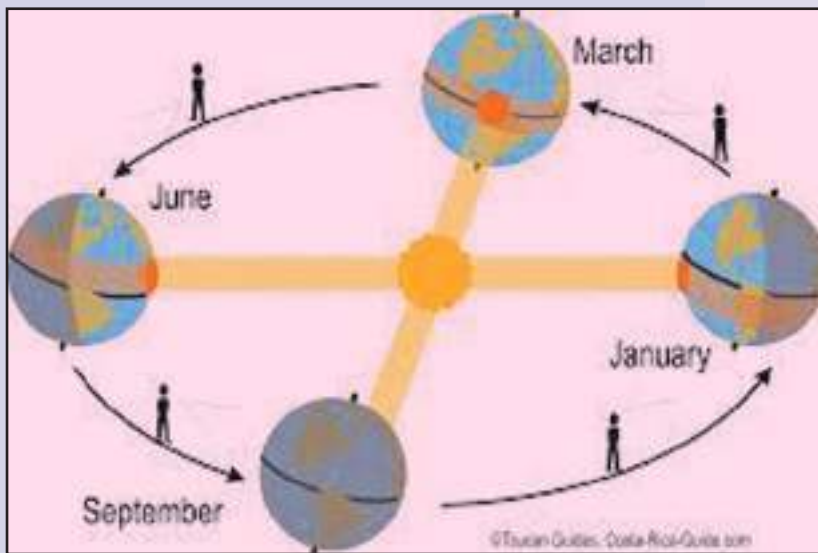
عن الشمس. يؤدي هذا إلى فصل الصيف في نصف الكرة الجنوبي والشتاء في نصف الكرة الشمالي حيث يتعرض نصف الكرة الجنوبي لمعظم اشعة الشمس المباشرة ولفتره أطول ويكون عدد ساعات النهار أطول من ساعات الليل.

الشمس المباشرة ولفترة أطول ويكون عدد ساعات النهار أطول من ساعات الليل. والعكس عندما يميل نصف الكرة الجنوبي باتجاه الشمس ويكون اقصى ميل مع تعامد اشعة الشمس على مدار الجدى «يناير» ويميل نصف الكرة الشمالي بعيداً

للجبل جافة شكل (١٠).

٥- ميل محور الأرض سبب وجود فصول السنة وتباين في خصائص المناخ بين هذه الفصول حيث يميل محور دوران الأرض حوالي ٢٣,٥ درجة عن مستوى مدار الأرض حول الشمس. شكل «١١»

تتحرك الأرض حول الشمس في مدار بيضاوى والدورة الواحدة حول الشمس تستغرق سنة واحدة.. وليس قرب الأرض من الشمس هو الذى يحدد الموسم ولكن ميل محور الأرض هو سبب نشوء فصول السنة. عندما يميل نصف الكرة الشمالي باتجاه الشمس ويكون أقصى ميل مع تعامد أشعة الشمس على مدار السرطان «يونيو» ويميل نصف الكرة الجنوبي بعيداً عن الشمس. يؤدي هذا إلى فصل الصيف في نصف الكرة الشمالي والشتاء في نصف الكرة الجنوبي حيث يتعرض نصف الكرة الشمالي لمعظم اشعة



شكل «١١» فصول السنة

دراسة تغير الرطوبة النسبية فوق مصر في فصل الصيف

في الفترة من عام 1948 الى عام 2018



اعداد

عزيزة سليمان علي جمعة

أخصائي أول بإدارة الإحصاء
المراجعة العلمية:

د. عبدالله عبدالرحمن عبدالله

ملخص البحث

في هذا البحث تم القيام بعمل دراسة حديثة لدراسة تغيرات الرطوبة النسبية فوق مصر في فصل الصيف في الفترة من عام ١٩٤٨ الى عام ٢٠١٨ ولقد استخدمت البيانات الشهرية للعناصر الجوية الرطوبة النسبية ودرجة الحرارة عند سطح الأرض في فصل الصيف (يونيو- يوليو- أغسطس) للوقوف على تغيرات هذه العناصر الجوية خلال فترة الدراسة. كما تم دراسة ارتباط هذه العناصر الجوية بالتغيرات العالمية الحادثة في درجة الحرارة من خلال الاحترار العالمي لكوكب الأرض في الفترة من عام ١٩٤٨ الى عام ٢٠١٨، وأيضا مدى ارتباط العناصر الجوية بالمؤشرات المناخية مثل التذبذب شمال الاطلسي (NAO)

ومؤشر التذبذب الجنوبي (SOI). وهذه الدراسة في هذا البحث شملت كامل حدود مصر من خط عرض ٢٢ وحتى خط عرض ٣٢ شمالا ومن خط طول ٢٥ درجة الى ٣٦ درجة شرقا وتم تحليل ودراسة العلاقة بين العناصر المناخية المستخدمة في هذه الدراسة في مصر والاحترار العالمي لكوكب الأرض والمؤشرات المناخية باستخدام طريقة الارتباط الخطي باستخدام طريقة مونتوكارلو للارتباط الخطي. ولقد أظهرت النتائج بجلاء حدوث تغيرات مناخية طفيفة في الرطوبة النسبية في مصر في فصل الصيف. فهناك نقص طفيف في الرطوبة النسبية خلال فترة الدراسة. مما يقلل بالشعور بالزيادة الحادثة في ارتفاع درجة الحرارة في فصل الصيف. وبينت نتائج هذا البحث وجود علاقة عكسية بين الاحترار العالمي لكوكب الأرض وتغير الرطوبة فوق مصر في فصل الصيف. ووجود علاقة طردية مؤثرة بين تغير الرطوبة فوق شرق مصر في فصل الصيف ومؤشر التذبذب شمال الاطلسي (NAO). ووجود علاقة طردية أيضا بين تغير الرطوبة فوق منطقتي شمال وغرب مصر ومؤشر التذبذب الجنوبي (SOI) خلال فترة الدراسة (١٩٤٨-٢٠١٨).

١ - مقدمة

إن توزيع الرطوبة في فصل الصيف فوق مصر يرتبط بمناخ مصر وله طبيعته الخاصة نظراً لموقع مصر الجغرافي وأيضا لطبيعة مناخ المناطق المجاورة وبخاصة منطقتي شرق البحر المتوسط ومنطقة البحر الاحمر. ومناخ مصر عموما يتأثر بمناخ المناطق المدارية جنوبا وبمناخ شرق البحر المتوسط شمالا. فمناخ المناطق الجنوبية لمصر يعد مناخا صحراويا ويكون جافا في معظم أوقات السنة. بينما مناخ المناطق الشمالية يعتبر مناخا معتدلا نسبيا لوجود مصرفي منطقة شرق البحر المتوسط ويكون الهواء رطبا نسبيا. وتختلف نسبة الرطوبة من مكان الى اخر فوق مصر تبعا لنوعية كتل الهواء السائدة فوق هذا المكان. فنظم الطقس وحالة الجو الرطوبة فوق مصر تتباين بشدة في منطقة شرق البحر المتوسط ومنطقة البحر الأحمر على مدار العام. وهذا التباين في حالات الطقس يرجع الى اختلاف طبيعة كتل الهواء وطبيعة سطح الأرض بين يابس وماء. مرجع (١) و(٣) ويظهر هذا التباين في حالة الجوجليا في مناخ مصر من فصل الى فصل اخر وبخاصة في فصل الصيف مرجع (٣) و(٤) ولقد أظهرت الدراسات السابقة ان فصل الصيف يكون الإحساس بشدة الحرارة فيه أعلى منه في الفصول الأخرى نظرا لارتفاع الرطوبة في فصل الصيف في مصر. ونظرا للارتفاع المستمر لدرجات الحرارة فوق عن معدلها وللتعرف على ما حدث من تغيرات في مناخ مصر (٥) وجب علينا

عمل دراسة حديثة للوقوف على تغيرات الرطوبة فوق مصر في فصل الصيف واسبابها مما يساعدنا في فهم دور التغيرات العالمية في مناخ الأرض وتأثيراتها في مناخ مصر بصفة عامة وتأثيراتها على الرطوبة النسبية فوق مصر في فصل الصيف بصفة خاصة.

٢ - البيانات والطريقة المستخدمة في الدراسة

في هذه الدراسة تم استخدام البيانات الشهرية (لتحليل البيانات النسبية لنسب / انكار) (NCEP/NECR) للعناصر المناخية من الرطوبة النسبية عند سطح الأرض ودرجات الحرارة عند سطح الأرض في اشهر فصل الصيف (يونيو. يوليو. أغسطس) خلال الفترة (١٩٤٨-٢٠١٨). وهذه البيانات ممثلة على شكل نقاط شبكية كل منها $2,5 \times 2,5$ درجة خط طول وخط عرض. والنطاق المستخدم لهذه البيانات هو $22,5$ إلى $32,5$ درجة خط عرض و 25 إلى $37,5$ درجة خط طول. والنطاق المستخدم في هذه الدراسة عبارة عن شبكة من العناصر المناخية (شبكة 6×5) شبكة لمنطقة الدراسة. بالإضافة الى ذلك تم استخدام القيم الشهرية لنفس تلك الفترة للمؤشرات المناخية التذبذب شمال الاطلسي (NAO) ومؤشر التذبذب الجنوبي (SOI). وهذه البيانات التي قدمتها (NOAA/OAR/ESRL PSD, Boulder, Colorado, USA). واستخدمت طريقة المتسلسلات الزمنية وأيضا طريقة الشذوذ في دراسة تغير العناصر المناخية. والمعدل المناخي لعناصر الطقس

المستخدمة في الدراسة الحالية اخذ للفترة (١٩٨١-٢٠١٠). وكذلك تم استخدام القيم الشهرية لقيم الاحترار العالمي لكوكب الأرض (من وكالة الفضاء الامريكية ناسا NASA). وتم تحليل ودراسة العلاقة بين الرطوبة النسبية في مصر في فصل الصيف والاحترار العالمي لكوكب الأرض والمؤشرات المناخية المذكورة باستخدام طريقة الارتباط الخطي باستخدام طريقة مونتوكارلو للارتباط الخطي (مرجع ٦).

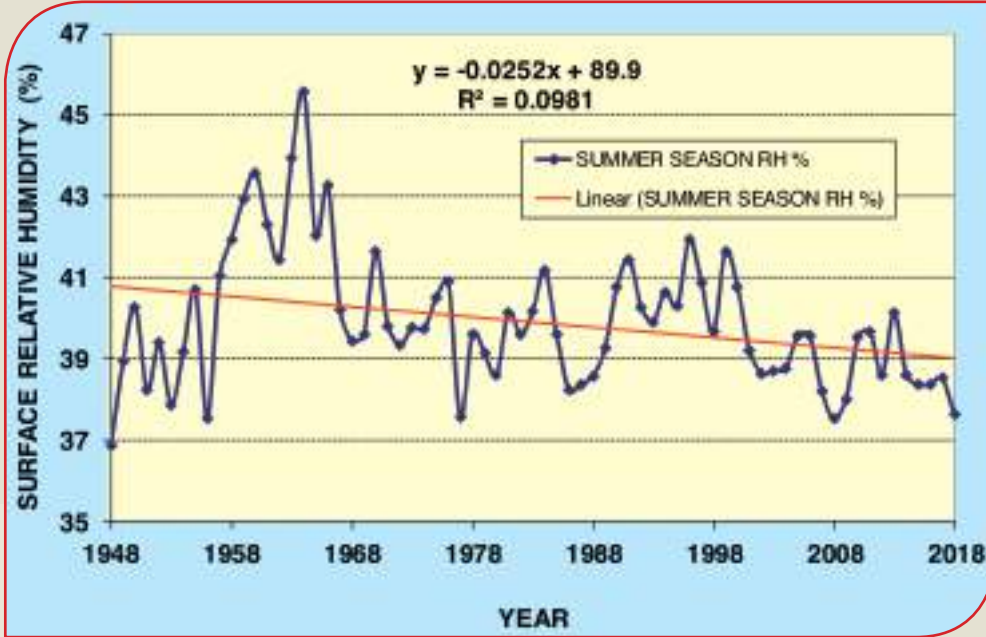
٣ - المؤشرات المناخية

١ - مؤشر التذبذب الشمال الأطلسي (NAO)

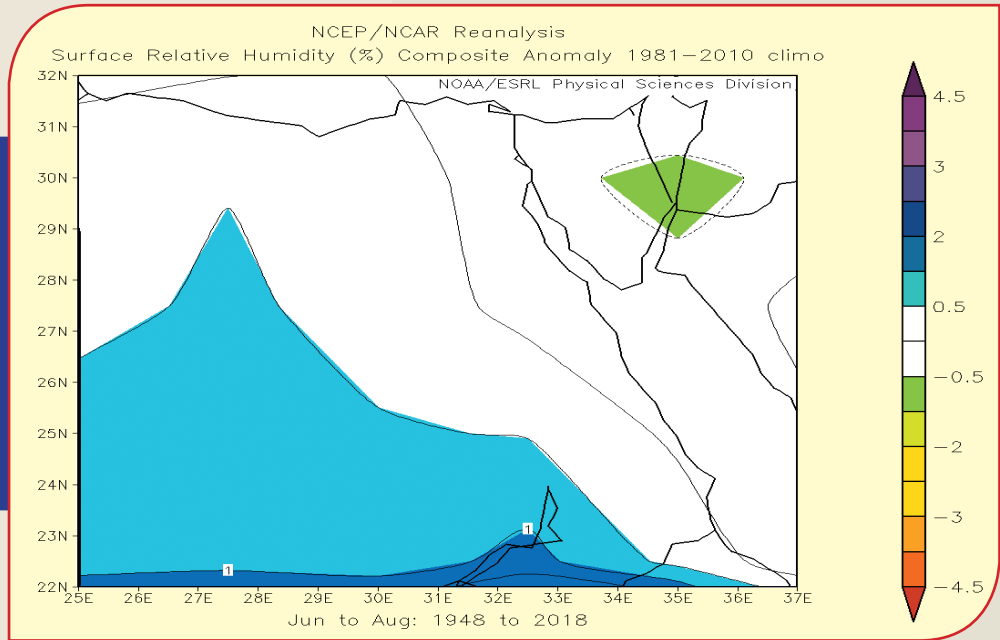
هذا المؤشر يعبر عن تقلبات ظاهرة طقس في المحيط الأطلسي الشمالي وتقلبات في الاختلاف في الضغط الجوي عند مستوى سطح البحر بين المنخفض الجوي الايسلندي والمرتفع الجوي فوق جزر الأزور. ويعبر كذلك عن شدة وارتفاع جزر الأزور، فإنه يسيطر على قوة واتجاه الرياح الغربية وموقع مسارات العواصف عبر شمال المحيط الأطلسي.

٢ - مؤشر التذبذب الجنوبي (SOI)

يعطى مؤشر التذبذب الجنوبي مؤشرا على تطور وشدة أحداث النينو أو اللانينا في المحيط الهادئ. ويتم احتساب مؤشر التذبذب الجنوبي باستخدام الاختلافات في الضغط الجوي عند السطح بين محطتي الأرصاد تاهيتي وداروين.



شكل (١) يبين التغير في النسبة المئوية للرطوبة النسبية في فصل الصيف وأيضاً اتجاه ميلها فوق مصر في الفترة الزمنية من ١٩٤٨ الى ٢٠١٨



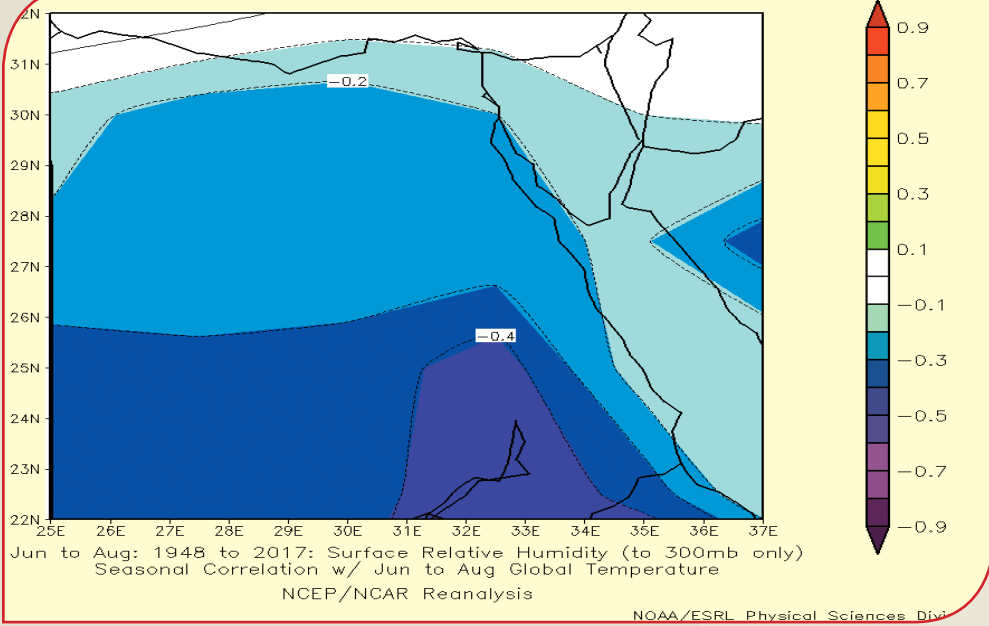
شكل (٢) يبين توزيع الشذوذ في الرطوبة النسبية السطحية في فصل الصيف فوق مصر في الفترة الزمنية من ١٩٤٨ الى ٢٠١٨

٢ - في العقدين الاخيرين (١٩٩٨-٢٠١٨) حدث تناقص في الرطوبة النسبية كما هو موضح في الشكل (١).
٣- شكل (٢) يبين الشذوذ في قيم الرطوبة النسبية ويظهر زيادة في الرطوبة النسبية عن معدلها الفصلي فوق منطقة جنوب غرب

النتائج ما يلي:
١ - حدوث تغير في قيم الرطوبة النسبية فوق مصر في فصل الصيف من عام الى عام اخر. ويميل اتجاه هذا التغير الى الانخفاض خلال فترة الدراسة في الفترة من ١٩٤٨-٢٠١٨ انظر شكل (١).

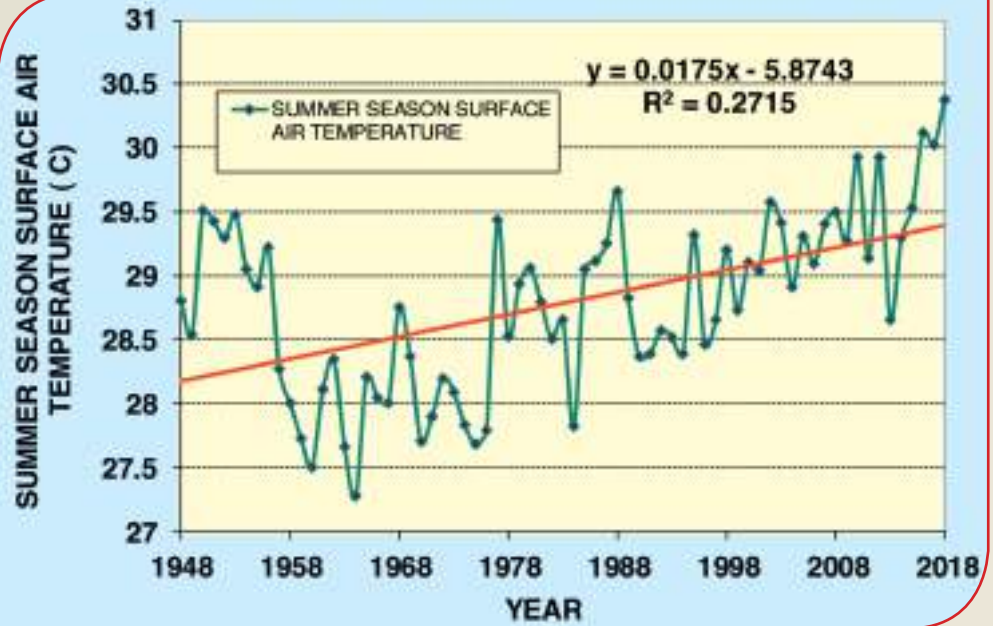
٤ - النتائج

٤-١ دراسة تغير الرطوبة النسبية فوق مصر في فصل الصيف في الفترة من ١٩٤٨ الى ٢٠١٨
تم دراسة تغير الرطوبة النسبية فوق مصر في فصل الصيف في الفترة من ١٩٤٨ الى ٢٠١٨ وأظهرت



شكل (٣) يبين توزيع العلاقة بين الرطوبة النسبية السطحية (%) في فصل الصيف فوق مصر والاحتباس الحراري العالمي في الفترة الزمنية من ١٩٤٨ الى ٢٠١٨

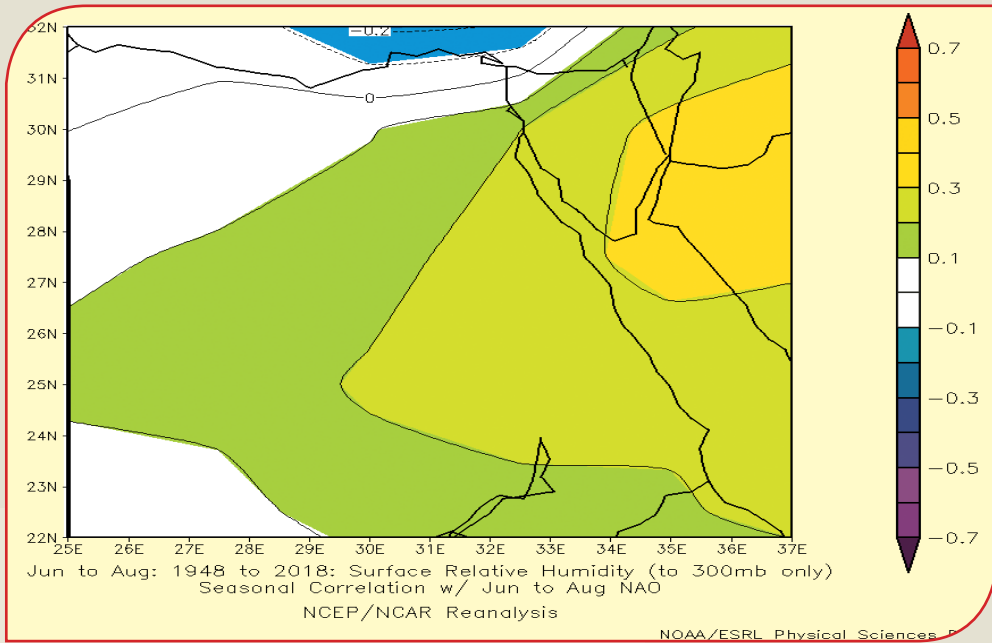
شكل (٤) يبين التغير في درجات الحرارة سنوياً في فصل الصيف وأيضاً اتجاه ميلها فوق مصر في الفترة الزمنية من ١٩٤٨ الى ٢٠١٨



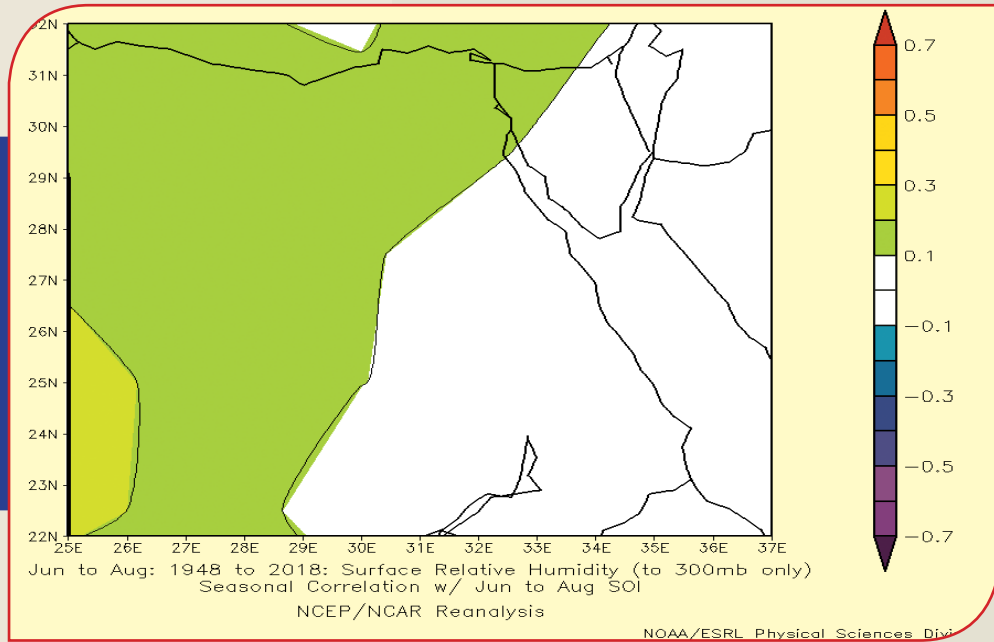
تبين من دراسة علاقة الارتباط بين تغير الرطوبة النسبية فوق مصر في فصل الصيف والاحتباس العالمي لكوكب الأرض وجود علاقة عكسية مؤثرة بين نسبة الرطوبة فوق مصر والاحتباس العالمي خلال فترة الدراسة (١٩٤٨-٢٠١٨) كما هو واضح من شكل (٣). كما ظهر أيضاً تحليل درجة الحرارة فوق مصر في فصل الصيف حدوث ارتفاع ملحوظ في درجة الحرارة عند سطح الأرض فوق مصر في فصل الصيف انظر شكل (٤).

مصر فقط. ولكن هذه الزيادة طفيفة في حدود ١% عن المعدل الفصلي. دراسة علاقة الارتباط بين تغير الرطوبة النسبية فوق مصر في فصل الصيف والاحتباس العالمي لكوكب الأرض

تبين من دراسة علاقة الارتباط بين تغير الرطوبة النسبية فوق مصر في فصل الصيف والاحتباس العالمي لكوكب الأرض وجود علاقة عكسية مؤثرة بين نسبة الرطوبة فوق مصر والاحتباس العالمي خلال فترة الدراسة (١٩٤٨-٢٠١٨) كما هو واضح من شكل (٣). كما ظهر أيضاً تحليل درجة الحرارة فوق مصر في فصل الصيف حدوث ارتفاع ملحوظ في درجة الحرارة عند سطح الأرض فوق مصر في فصل الصيف انظر شكل (٤).



شكل (٥) يبين توزيع العلاقة بين الرطوبة النسبية السطحية في فصل الصيف فوق مصر ومؤشر التذبذب شمال الأطلسي في الفترة الزمنية من ١٩٤٨ الى ٢٠١٨



شكل (١) يبين توزيع العلاقة بين الرطوبة النسبية السطحية في فصل الصيف فوق مصر ومؤشر التذبذب الجنوبي في الفترة الزمنية من ١٩٤٨ الى ٢٠١٨

الرطوبة فوق مصر في فصل الصيف ومؤشر التذبذب الجنوبي SOI فوق المنطقة الشمالية والمنطقة الغربية لمصر كما هو مبين في شكل (٦).

ويمكن القول وفقا لنتائج هذا البحث ان الرطوبة النسبية فوق

المناخية NAO وSOI ما يلي:

١- وجود علاقة طردية مؤثرة بين نسبة الرطوبة فوق مصر في فصل الصيف ومؤشر التذبذب شمال الأطلسي NAO عدا المنطقة الشمالية الغربية. انظر شكل (٥).

٢- وجود علاقة طردية بين نسبة

٤-٣ دراسة علاقة الارتباط بين تغير الرطوبة النسبية فوق مصر في فصل الصيف والمؤشرات المناخية SOI وNAO

أظهرت نتائج دراسة علاقة الارتباط بين تغير الرطوبة النسبية فوق مصر في فصل الصيف والمؤشرات

ومؤشر التذبذب الجنوبي. وان
تناقص الرطوبة النسبية يقلل من
الشعور بشدة درجات الحرارة في
فصل الصيف في مصر.

الرطوبة مرتبط ارتباطا وثيقا
بالاحترار العالمي لكوكب الأرض
والمؤشرات المناخية وبخاصة
مؤشر التذبذب الشمال الأطلسي

مصر في فصل الصيف تقل بدرجة
طفيفة من فصل الى اخر وبخاصة
في السنوات الأخيرة (العقدين
الآخرين) وان هذا التغير في

شكر

ويأمل المؤلف أن يشكر قسم العلوم الفيزيائية التابع للإدارة الوطنية
للمحيطات والغلاف الجوي

(NOAA/OAR/ESRL PSD, Boulder, Colorado, USA)

لما قدمه من اشكال من موقعها على الإنترنت على العنوان التالي:

: <http://www.esrl.noaa.gov/psd/>

كما يشكر المؤلف وكالة الفضاء الامريكية ناسا (NASA)

لما قدمته من بيانات الاحترار العالمي لكوكب الأرض

المراجع

- (1) MedCLIVAR (2007) Mediterranean climate variability, report for the CLIVAR SSG15. 1115- September 2007, Geneva.
- (2) Hafez Y. (2018) A Recent Study of Seasonal and Interannual Climate Variability over the Eastern Mediterranean Region. Journal of Geoscience and Environment Protection, 6, 132151- <https://doi.org/10.4236/gep.2018.61009>
- (3) عزيزة سليمان على جمعة (2018) : دراسة حديثة للتغيرات المناخية الفصلية فوق مصر. مجلة هيئة الأرصاد الجوية العدد (55) رقم الصفحات (41-47)
- (4) عزيزة سليمان على جمعة (2018) : دراسة العلاقة بين امطار فصل الخريف في مصر والمؤشرات المناخية العالمية. مجلة هيئة الأرصاد الجوية ، العدد (56) رقم الصفحات (30-36).
- (5) عزيزة سليمان على جمعة (2019) : دراسة حديثة لمناخ مصر . مجلة هيئة الأرصاد الجوية، العدد (57) رقم الصفحات (25-30)
- ((6 Kalnay, E., Kanamitsu, M., Kistler, R., Collins, W., Deaven, D., Gandin, L., et al. (1996) The NCEP/NCAR 40 Year Reanalysis Project. Bulletin of the American Meteorological Society, 77, 437471-. [http://dx.doi.org/10.1175/0772.0\(1996\)0477-1520.CO;2](http://dx.doi.org/10.1175/0772.0(1996)0477-1520.CO;2)

التغير المناخي

وتأثيره على كافة

الأنشطة الحياتية



إيمان عبداللطيف شاكر

أخصائي أرصاد جوية ثان

إدارة الاستشعار عن بعد

الإدارة العامة للتحاليل

المراجعة العلمية: د. أشرف صابر زكي



”مما لا شك فيه أن التغيرات المناخية أصبحت شيء ملموس ومؤثر في كافة مناحي الحياة وليس فقط في الظواهر الجوية والمناخية ولكن أيضا في النظام البيئي في الدورة الزراعية والأنظمة الغذائية ودورة المياه في الأنشطة اليومية في طبيعة العمل والتكيف معه في الصحة العامة والأمراض المختلفة والمستحدثة وكذلك في طبيعة وسلوك البشر والنظام الاجتماعي وانتشار السلوك العدواني وظواهر العنف والتطرف لذلك كان من الضروري التعرض لهذا الأمر ودراسته ومناقشته من الجانب العلمي والنفسي وتناول في ذلك البحث سبب هام من أسباب التغيرات المناخية وهو ظاهرة النينو وتأثيرها على التغيرات المناخية في شتى مجالات الحياة.“

WARM EPISODE RELATIONSHIPS DECEMBER - FEBRUARY



WARM EPISODE RELATIONSHIPS JUNE - AUGUST



وبيرو، وكولومبيا. أما المياه الدافئة المتجمعة فتسخن الهواء الذي يعلوها. وتكون كمية بخار الماء الكبيرة سحباً وبالتالي تتساقط الأمطار في جنوب شرق آسيا، ويبقى الساحل الغربي لأمريكا اللاتينية خالياً من الأمطار. أما عندما تبدأ النينا فإن الرياح التجارية تضعف فتتشل في إزاحة مياه السطح الدافئة غرباً وهو ما يعكس النظام الجوي لهذه المنطقة الواسعة بالكامل، فيظهر الجفاف في جنوب شرق آسيا، وتعم الفيضانات أمريكا اللاتينية، كما تقل الثروة السمكية على شواطئ بيرو، والإكوادور، وكولومبيا.

بدء حدوث ظاهرة النينو

ويعود تكون النينو إلى ضعف الرياح التجارية السائدة في المنطقة الاستوائية من المحيط الهادئ وهبوب رياح غربية بدلاً منها، حيث تعمل على دفع الطبقة السطحية من المياه نحو الشرق، وتؤدي إلى حدوث تغيرات في مواقع الكتل الهوائية والتيارات الجوية المدارية، حيث تسبب في هطول كميات غزيرة من الأمطار في الغرب من المحيط الهادئ، بينما في الشرق لها التأثير المعاكس في البيرو وتشيلي. (*)

يعتمد توقف النينو واستمرارها على نوعين من الموجات أولهما موجه روسبي والأخرى موجة كلفن، حيث توجه امواج روسبي مياه المحيط الهادئ في اتجاهين متعاكسين طولياً على بعد مائة متر تقريباً في الاتجاهين، وأشارت دراسات مناخية إلى اثبات ان

أسباب التغيرات المناخية:

- 1- من اسباب التغيرات المناخية ظاهرة النينو.
- 2- حدوث ظاهرة الاحتباس الحرارى نتيجة كثرة استخدام الغازات الدفيئة المتصاعدة من المصانع ووسائل النقل والأنشطة البشرية المختلفة ومن أبرزها غاز الفلورو كلورو كربون.
- 3- تفاقم مشكلة ثقب الأوزون واتساعه مما سبب وصول المزيد من أشعة الشمس الضارة إلى طبقات الجو.
- 4- فقدان التنوع الحيوى والضغط على الموارد البيئية مما يسبب اختلال فى التوازن البيئى الذى يؤثر بشكل غير مباشر على التغيرات المناخية.
- 5- انتشار ظاهرة التمدن والاعتماد على إنتاج الطاقة من استهلاك الوقود الأحفورى الذى يسبب إنتاج الملوثات التى تؤدى إلى ظاهرة الاحتباس الحرارى.

النينو واثاره المناخية:

تعتبر ظاهرة النينو من أهم الظواهر التى أثرت فى التغيرات المناخية وكثر الحديث عنها فى الاعوام الماضية وسوف نتناول مفهومها وتاريخها وتأثيرها على التغيرات المناخية.

مفهوم الظاهرة

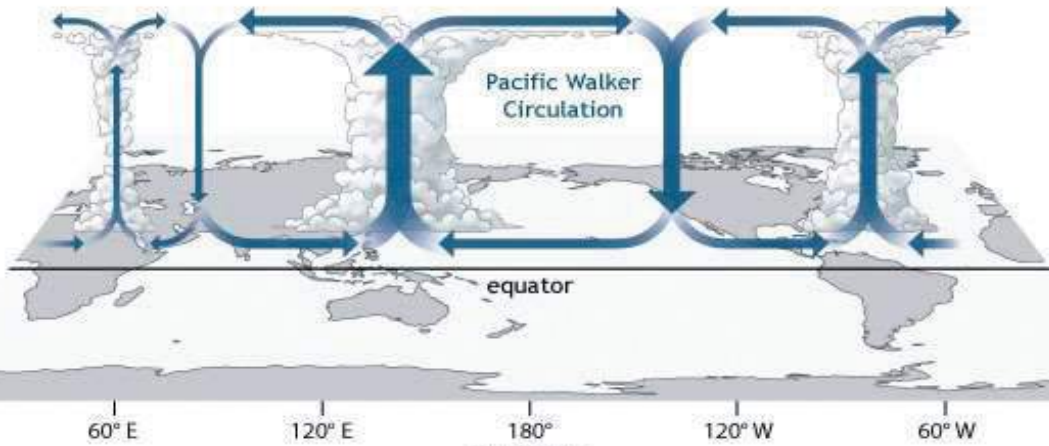
تحدث ظاهرة (El Nino) نتيجة لتغير مؤقت فى مناخ المنطقة الاستوائية بالمحيط الهادئ، الذى احدث بدوره تأثيرات متباينة على مناطق كثيرة فى أنحاء العالم من جفاف وحرارة للغابات، وأمطار غزيرة. وظاهرة النينو ظاهرة مناخية عالمية وهى ليست من الظواهر الجوية الحديثة فقد اكدت الدراسات على أنها موجودة منذ مئات السنين اذ أمكن التأكد من أن أحداث النينو تعود فى تاريخها إلى أكثر من ١٥٠٠ سنة مضت وهى المسؤولة عن ارتفاع درجات الحرارة والجفاف فى مناطق وغزارة الأمطار فى مناطق اخرى ولقد انتشرت ظاهرة النينو على الكرة الأرضية وتسببت في اضطرابات جوية عنيفة مما أدى إلى تأثيرات على البلدان ٢٠٠٩، «Shahdeh».

تأثيرات النينو على مختلف مناطق العالم

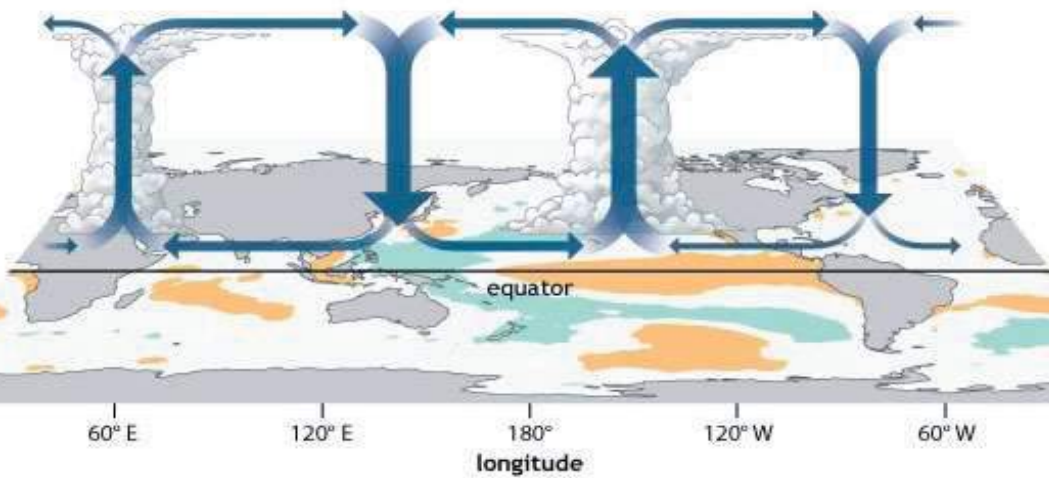
وقد فسر العلماء تشكل ظاهرة النينو كما يلي:

تهب الرياح التجارية عادة على طول خط الاستواء باتجاه الغرب، وهذه الرياح تجمع مياه السطح الدافئة غرب المحيط؛ فيرتفع السطح حوالى نصف متر عما فى الشرق، وعندما تتجمع مياه السطح فى الغرب تصعد المياه الباردة وتكثر الأسماك عند ساحل الإكوادور،

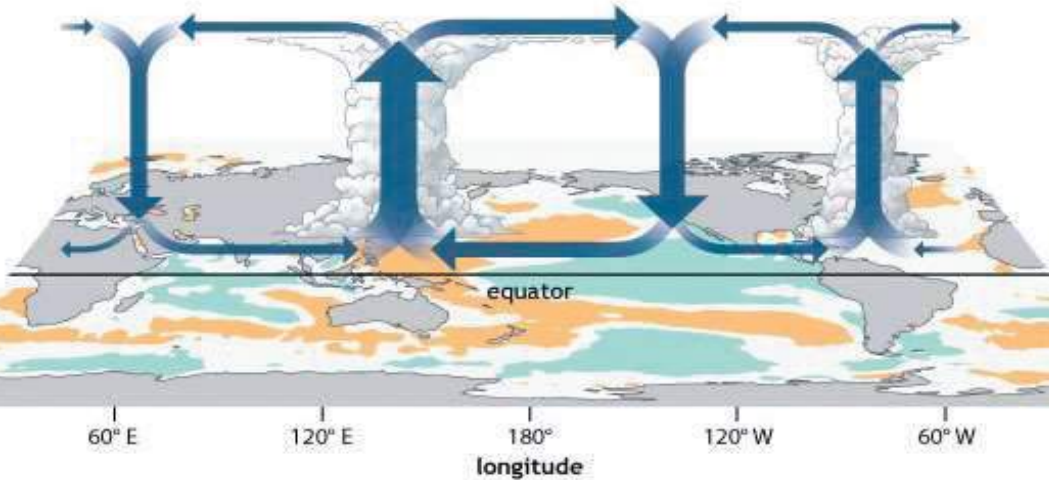
Neutral conditions



El Niño conditions



La Niña conditions



NOAA Climate.gov



لبقاع العالم المختلفة هي ظاهرة النينو في المحيط الهادى وتأثيراتها العنيفة المختلفة على العالم. ومن خلال النماذج المناخية التي تحاكي النينو فقد توصل اورغومان باستجابة قوية بين النينو والهطول المطرى من خلال تأثير الاحتباس الحراري. فكل ارتفاع درجة مئوية واحدة في درجات الحرارة ترتفع كثافة هطول الامطار بنسبة ١٠% في المناطق غير المدارية من العالم. ورسمت النماذج المناخية تصورا مستقبليا لقوة النينو خلال الفترة من عام ٢٠٥٠ - ٢١٠٠ م وخاصة في فصل الشتاء في حين ينعدم حدوثها في فصلي الربيع والخريف.

يعتبر عام ٢٠١٢ الأشد حرارة في الولايات المتحدة الأميركية منذ بدء قياسات أحوال الطقس في نهاية القرن التاسع عشر. وربما أن سبب تزايد الحديث مؤخرا عن الأحوال المناخية الهوجاء التي سادت العام الماضى في العديد من بقاع الأرض، هو إعصار «ساندي» الذي ضرب الساحل الشرقى لأميركا الشمالية؛ ما تسبب في أضرار وخسائر ضخمة في الأرواح والممتلكات. إلا أن ذلك الإعصار لم يكن سوى حلقة في سلسلة عواصف وموجات حرارية شديدة السخونة لا تزال تهاجم مناطق مختلفة في العالم. فعلى سبيل المثال، عانت أستراليا من موجة حرارية غير مسبوقة؛ كسرت فيها جميع الأرقام القياسية المعروفة السابقة، إذ سجلت في ذات المدينة، أثناء النهار، درجة حرارة مقدارها ٤١,٨ درجة مئوية وشبت حرائق ضخمة في مختلف أنحاء الدولة. كما حدث في فلسطين وسائر بلاد الشام، خلال ذات الشهر، وإن بمدى أقل، حوادث مناخية متطرفة غير مألوفة إقليميا، من ناحية غزارة وشدة وكثافة الأمطار خلال أيام قليلة، وما رافقها من عواصف ورياح عاتية تجاوزت سرعتها ١٢٠ كم/ساعة في بعض المناطق. وبحسب رأى علماء المناخ، فإن حقيقة كون هذه الظواهر جزء من تسلسل أحداث مناخية متطرفة كثرت في السنوات

امواج روسبي المسئولة عن الكوارث الطبيعية في المناخ ومنها الفيضانات وتناقص الامطار والاعاصير كما أشارت الدراسة ان امواج روسبي تتحرك على شكل موجات حول الأرض. وعندما تدفع امواج روسبي للهواء الدافئ من المناطق المدارية نحو الشمال لأماكن مثل روسيا وأوروبا والولايات المتحدة فهي تسبب حدوث حركة هواء قوية، وعندما تتحرك امواج روسبي جنوبا فإنها تفعل العكس وتدفع معها الهواء البارد من منطقة القطب الشمالى نحو الجنوب. اما موجة كلضن فهي اسرع من امواج روسبي وتوجد بالغرب من خط الاستواء وتؤثر في درجة حرارة المحيط الداخلية فيتوقف النينو في هذه المرحلة.

ففى فترة أعياذ الميلاد ترتفع درجة حرارة المياه السطحية لتتفوق ٣٠ درجة مئوية على سواحل بيرو والاكوادور وتزداد الرقعة التي تمتد عليها المياه الدافئة الى حوالى ١٣٠٠٠ كم على طول خط الاستواء شمالا وجنوبا وتنخفض المياه الباردة وترتفع فوقها المياه الدافئة بسماكة ١٥٠ م تقريبا، وتؤثر درجة حرارة المياه السطحية الى تغيير في انظمة الضغط الجوى والرياح السائدة وكميات الامطار.

النينو وعلاقته بظاهرة الاحتباس الحرارى والتغيرات المناخية

تنشأ ظاهرة الاحتباس الحرارى بسبب الزيادة في نسبة ثانى أكسيد الكربون في الغلاف الجوى والذي يعمل على رفع درجات الحرارة، وأحداث تغيرات مناخية ومنها زيادة درجة حرارة المياه السطحية للمحيط الهادى المنشأ لظاهرة النينو. حيث يترتب على ظاهرة النينو تأثيرات واضحة تتمثل في زيادة انبعاثات الغازات الدفيئة. فأثناء النينو يضعف تدفق المياه الباردة من الاعماق مما يؤدي إلى انخفاض انبعاثه في الجزء الشرقى من المحيط الهادى في حين ان ظروف مناخية جافة تنشأ في الجانب الأخر فتتقوى انبعاثات هذا الغاز فيؤدي إلى زيادة تركيز ثانى أكسيد الكربون في الجو وهذا ما يعطى الاحتمال بان دورة هذا الغاز وزيادة تركيزه أو قلته لا تنتج فقط من الاستخدام البشرى وانما تعود الى اسباب طبيعية بيئية ايضا حيث اوضح Oliver Hidore ان النينو تحدث كل ٤ - ٥ سنوات، بينما خبراء منظمة الأرصاد الجوية العالمية رأوا أن هذه الظاهرة تحدث تقريبا كل ٣ - ٤ سنوات (World climate News, No.13.1998) واجمع العلماء على ان من أسباب الظواهر المتطرفة في المناخ



والنباتية في جميع أنحاء العالم بالانقراض»، موضحة أن «عوامل تقلبات درجة الحرارة القصوى المتوقعة تشمل تجفيف التربة الاستوائية بسبب زيادة التبخر مع ارتفاع درجات الحرارة، فضلاً عما تخلّفه تلك العوامل من تنام للصراعات وعدم الاستقرار السياسي في الدول الاستوائية

كما تسبب التغيرات المناخية مشاكل مدمرة على البيئة ومن أهمها ما يلي: دمار الغابات المطيرة وانهارها. وكذلك انجراف التربة وتعرض الطبقة السطحية منها لعوامل التعرية نتيجة الفيضانات والانجرافات الشديدة، وفي المقابل حدوث ترسيب في مناطق أخرى. وارتفاع نسبة الرطوبة بشكل كبير مما يؤثر على الإنسان والحيوان والنبات وجميع العناصر البيئية بشكل عام. حدوث سوء في توزيع مياه الأمطار في مناطق العالم. أيضاً حدوث الكوارث البيئية مثل حرائق الغابات. انتشار الآفات والأمراض والأوبئة نتيجة انتشار البعوض والحشرات الناقلة للأمراض بسبب ارتفاع درجات الحرارة وتغيّر الظروف لعيش هذه الحشرات وتكاثرها. وتعرض الغطاء النباتي للدمار بسبب التغيرات الجذرية في حالة المناخ وعدم قدرة النباتات على التكيف. انتشار ظاهرتي الجفاف والتصحر في مناطق معينة، وحدثت الفيضانات في مناطق أخرى. كما حدثت تغيرات في خصائص مياه الشرب. وانصهار الثلوج في القطبين مما يسبب ارتفاع منسوب مياه البحار والأنهار والمحيطات واختفاء عدد من الجزر وغرق الكثير من المدن الساحلية والقريبة من الشواطئ. وتأثر الحيوانات وانقراض أعداد كبيرة منها بسبب التغيرات المناخية التي تمنع تكيفها كأن يحدث

الأخيرة، تعزز الفرضية القائلة بأن الكرة الأرضية تقع حالياً تحت تأثيرات التغيرات المناخية الناجمة عن ارتفاع حرارتها.. بعدها بعام وصلت الموجة الحرارية إلى مناطق إضافية؛ فحطمت في بعض المدن أرقاماً قياسية جديدة، إذ بلغت درجات الحرارة أكثر من ٤٨ درجة مئوية؛ وهددت الحرائق الضخمة التي شبت بسبب الموجة الحرارية مناطق واسعة في البلاد.

وبحسب تقرير البنك الدولي الذي نشر مؤخراً حول التغيرات المناخية، يقول بأن الموجة الحرارية الشديدة التي ضربت روسيا عام ٢٠١٠ تسببت في وفاة ٥٥ ألف شخص، إضافة إلى تراجع المحصول الزراعي بمقدار الربع وخسائر قيمتها ١٥ مليار دولار.

نشرت المنظمة الدولية للأرصاد الجوية مؤخراً خلاصة الأحوال المناخية لعام ٢٠١٢؛ فاعتبرته «عاماً إضافياً من الأحداث المناخية المتطرفة». وأشارت المنظمة إلى أنه سادت في مناطق أوروبية وأميركية واسعة درجات حرارة مميزة لفصل الصيف. وسجلت في «جرينلند» أعلى درجة حرارة عرفت في تاريخها إذ بلغت ٢٤ درجة مئوية. أما منطقتنا العربية، وتحديدًا في بلاد الشام وفلسطين والأردن فقد شهدت في صيف ٢٠١٢ اضطراباً مناخياً واضحاً، من ناحية التغيرات المتطرفة في درجات الحرارة التي كانت ترتفع بشكل فجائي أحياناً، أكثر من عشر درجات عن المعدل السنوي العام، مع زيادة كبيرة في شدة الجفاف، إلى جانب رطوبة مرتفعة، حتى في المناطق البعيدة عن الساحل الفلسطيني.

وبحسب نماذج وتقديرات العلماء، فإن ارتفاع حرارة الأرض سيؤدي، من بين أمور أخرى، إلى ارتفاع حرارة البحار والمحيطات؛ علماً بأن هذا الارتفاع أخذ في الحدوث حالياً ويوجد لهذه الظاهرة آثار كثيرة على شدة الطاقة المنبعثة إلى الهواء والمغذية للنظام المناخي، مثل الرياح والعواصف وسحب الأمطار. ومنذ بضع سنوات، قدر علماء المناخ بأن ارتفاع حرارة الأرض سيتسبب ليس فقط في ظواهر الجفاف، بل أيضاً في زيادة حدة العواصف والأمطار الغزيرة والفيضانات.

تأثير التغيرات المناخية على كافة مجالات الحياة:

أولاً تأثير التغيرات المناخية على البيئة:

تقول الدراسة، التي نشرتها دورية (Science Advances) إن تقلبات درجة الحرارة في المناطق الاستوائية تؤثر على الأنظمة البيولوجية، وتهدد الأمن الغذائي، وتمثل خطورة على كل من الزراعة والبشر والاقتصاد، وتهدد العديد من الأنواع الحيوانية

ارتفاع كبير في درجات الحرارة أو انخفاض شديد عليها.
ثانياً تأثير التغيرات المناخية على الآثار الصحية:

رجحت دراسة أجريت عام ٢٠١٥، ان ارتفاع معدلات الوفاة، وخاصة في البلدان النامية، مع استمرار ارتفاع درجات الحرارة وأنماط الطقس بسبب الاحترار العالمي وأوضحت أن الأشخاص الذين يعانون من أمراض مزمنة مثل السكري، وفيروس نقص المناعة البشرية والسل، أو أولئك الذين يعانون من الإسهال، هم الأكثر عرضة لتأثيرات ارتفاع درجة الحرارة.

وطبقت الدراسة نماذج إحصائية معقدة، اعتمدت على بيانات الوفيات الصادرة عن جهات حكومية رسمية في جنوب أفريقيا والبيانات المتعلقة بالطقس لمعرفة مدى تأثير درجة الحرارة الظاهرية «وهو مصطلح عام، يشير إلى درجة الحرارة التي يتم الشعور بها في الأماكن المفتوحة، والتي تتسبب فيها عدة عوامل مجتمعة، هي درجة حرارة الهواء والرطوبة النسبية وسرعة الرياح» على زيادة عدد الوفيات الطبيعية في ثلاث مدن رئيسية بجنوب أفريقيا، هي كيب تاون وديربان وجوهانسبرج.

واعتمدت الدراسة على البيانات في الفترة من ٢٠٠٦ وحتى ٢٠١٠. وقد اختيرت المدن الثلاث لاختلاف الطبيعة المناخية لكل منها «تتمتع كيب تاون بمناخ البحر الأبيض المتوسط، وديربان بمناخ شبه استوائي رطب، وجوهانسبرج بمناخ شبه استوائي مرتفع». وأظهر تحليل البيانات أنه كلما ارتفعت درجة الحرارة، لقي عدد أكبر من الناس حتفهم، ما يعني أن جنوب أفريقيا أكثر عرضة لتأثيرات الحرارة من الدول المتقدمة الأخرى.

ثالثاً تأثير التغيرات المناخية على دورة المياه:

مع زيادة سخونة المناخ، فإن ذلك يؤدي إلى تغير طبيعة سقوط الأمطار والتبخر والثلوج وتدفق ينابيع المياه والعناصر الأخرى التي تؤثر في وفرة المياه وجودتها على مستوى العالم. وتعد موارد الماء العذب شديدة الحساسية تجاه التغيرات التي تطرأ على الطقس والمناخ. ففي المناطق التي تعتمد فيها كمية مياه الأنهار والجداول على ذوبان الثلوج، تؤدي زيادة درجات الحرارة إلى زيادة نسبة الترسبات الساقطة على هيئة أمطار بدلاً من الثلج، مما يؤدي للوصول إلى الحد الأقصى السنوي الربيعي لسريان المياه بشكل مفرط في فترة مبكرة من العام. وهذا قد يؤدي إلى احتمالية حدوث فيضان شتوي وتقليل معدل تدفق المياه في الأنهار في الفترة المتأخرة من الصيف. ويؤدي ارتفاع

منسوب البحار إلى دخول المياه المالحة إلى المياه العذبة الجوفية وجداول المياه العذبة. وهذا يقلل كمية المياه العذبة المتوفرة للشرب والزراعة. وتؤثر أيضاً درجات المياه الأكثر حرارة على جودة المياه وتزيد من سرعة تلوث المياه.

رابعا تأثير التغيرات المناخية على النزوح/الهجرة:

يؤدي تغير المناخ إلى نزوح الأفراد من خلال العديد من الطرق وأكثرها وضوحاً، ومأساوية، ما يكون بسبب زيادة عدد وخطورة الكوارث المتعلقة بالطقس والتي تدمر المنازل والمسكن مما يدفع الأفراد إلى البحث عن مأوى أو أماكن للعيش بمكان آخر. إن ظاهرة مثل التصحر وارتفاع منسوب البحار يؤدي تدريجياً إلى تدمير أسباب المعيشة وتجبر المجتمعات على التخلي عن أوطانها التقليدية لتذهب إلى بيئات أكثر ملاءمة. ويحدث هذا حالياً في مناطق الساحل الإفريقي وحزام مناطق المناخ شبه الجاف الذي يمتد حول القارة أسفل صحرائها الشمالية تماماً. ويمكن أن تؤدي البيئات المتدهورة نتيجة للتغير المناخي إلى مزيد من الصراعات حول الموارد والتي قد تؤدي بدورها إلى نزوح الأفراد.

وأما الأحداث البيئية المتطرفة فيتم النظر إليها بصورة متزايدة باعتبارها السبب الرئيسي للهجرة عبر العالم. فطبقاً لمركز مراقبة النزوح الداخلي

(Internal Displacement Monitoring Centre)، فإن أكثر من ٤٢ مليون شخص نزحوا من منطقة آسيا والمحيط الهادي خلال عامي ٢٠١٠ و٢٠١١، وهذا يزيد عن ضعف سكان سريلانكا. وتتضمن هذه الأرقام أولئك الذين نزحوا بسبب العواصف والفيضانات وموجات الحر والبرد. ولا يزال هناك آخرون نزحوا بسبب الجفاف وارتفاع منسوب البحار. ومعظم هؤلاء الأفراد أجبروا على ترك منازلهم وفي النهاية عادوا عندما تحسنت الظروف، ولكن عدداً غير محدد أصبح في عداد المهجرين، وهذا داخل بلادهم في العادة، إلا أن هناك أيضاً من هاجروا عبر الحدود القومية. تعد منطقة آسيا والمحيط الهادي أكثر مناطق العالم ميلاً لحدوث الكوارث الطبيعية، وذلك من ناحية العدد الإجمالي للكوارث والأشخاص المتضررين على حد سواء. حيث تتعرض تلك المنطقة بدرجة كبيرة للتأثيرات المناخية وتعد موطناً لمجموعات سكانية معرضة للمخاطر بدرجة كبيرة تعد فقيرة ومهمشة بصورة غير متساوية. وقد أشار تقرير صدر عن بنك التنمية الآسيوي مؤخراً إلى «المناطق الخطرة بيئياً» والتي



يلاحظها الضابط نفسه بوضوح، أعنى أنها لا تعيقه عن العمل كأن نضعه في درجة مئوية ٣٩ مثلاً. في الحقيقة قد يمتد الأمر لما هو أعقد من ذلك، حيث إن أي شيء متعلق بمفهوم الحرارة نفسه كعرض صور للنار، أو الجليد في المقابل، أو التعرض لأية أشياء متعلقة، قد تسبب ارتفاع درجة العدائية في أفكار الخاضعين للتجارب، ويصل الأمر إلى أن مجرد تغذية عقول البعض بأفكار عن الحرارة قد يتسبب في دفعهم لتأمل أفكار غاضبة، المشككة إذن ليست فقط، كما يبدو، في درجة الحرارة، وإنما في ارتباط ذهني يسكن بداخلنا كبشر عن علاقة المفهوم نفسه «الحرارة» بتوترنا وتصاعد درجات تأهبنا.

المراجع

- 1- www.esr/noaa.gov/psd/en
- 2- World climate News. No.13.1998

تمثل مخاطر خاصة لحدوث فيضانات وزوايح وأعاصير التايفون وزيادة ضغط المياه.

خامسا تأثير التغيرات المناخية على النواحي الاجتماعية:

إن توابح التغير المناخي والفقير ليست موزعة بالتساوي بين المجتمعات. فالعوامل الفردية والاجتماعية مثل الجنس (النوع) والعمر والتعليم والعرق والموقع الجغرافي واللغة تؤدي إلى مستوى مختلف من قابلية التعرض للخطر والقدرة على التكيف مع تأثيرات التغير المناخي. إن تأثيرات التغير المناخي مثل الجوع والفقير والأمراض مثل الإسهال والملاريا تؤثر بصورة غير متساوية على الأطفال؛ بمعنى أن ٩٠ في المائة من وفيات الملاريا والإسهال تقع بين الأطفال الصغار.

سادسا تأثير التغيرات المناخية في انتشار ظواهر العنف:

بدأ البحث العلمي حول تلك النقطة من تقصّي العلاقة بين ارتفاع درجات الحرارة وارتفاع العدائية لدى البشر، في الحقيقة نجد في لغتنا العامة إشارة لتلك العلاقة حينما نقول مثلاً «تأججت نار الغضب»، أو «اشتعلت الحرب» وغيرها من التعبيرات اليومية الدارجة، لكن بحث وجود تلك العلاقة يتطرق بالأساس إلى بحث الخلفية الفيسيولوجية لوجود الإنسان في طقس حار، مع محاولات لعمل رصد إحصائي لتطور حالات العنف في عدة مجتمعات مع ارتفاع معدلات درجات الحرارة بها.

فمثلاً، تشير التجربة التي قسّمت الخاضعين لها في غرفتين، إحداهما ذات درجة حرارة أعلى من الأخرى، إلى تصاعد درجات العدائية، في الأفكار، المشاعر، والسلوك، لدى الجالسين في الغرفة الحارة مع تناسب بين مدد الإقامة بتلك الغرفة ودرجات العدائية.

في تجربة أخرى وهي تمارين ضباط البوليس، حيث أخضع ألدرد فريديج ورفاقه، من جامعة بورتسموث بأمستردام، مجموعة مكونة من ٣٨ ضابط بوليس، لتجارب تتعلق بدفعهم للتمرّن في غرفة درجة حرارتها ٢١ مئوية وأخرى ٢٧ مئوية، ثم مقارنة نتائج الغرفتين، وتضمنت آلية التمرين محاكاة على شاشة عرض لحالة إنذار بالسرقة، ثم يتدخل الضابط ليواجه مشتبهها به. في الغرفة الحارة أشارت النتائج إلى أن الضباط كانوا أكثر ميلاً للإشتباه في هذا الشخص، وفي درجة عدائيته، وأكثر ميلاً لسحب المسدس الخاص بهم بقيمة ٨٥% مقابل ٤٥% في الغرفة الباردة، علماً بأننا هنا نتحدث عن فروق في درجات الحرارة، بين ٢١ و٢٧، قد لا

صيانة الحاسب الآلي



إعداد: محمود عبد المنعم محمود
مدير إدارة الاستشعار عن بعد
القائم بأعمال مدير عام التحاليل



مقدمة

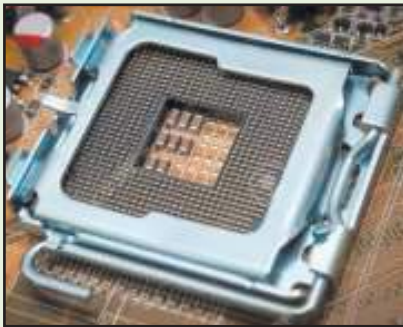
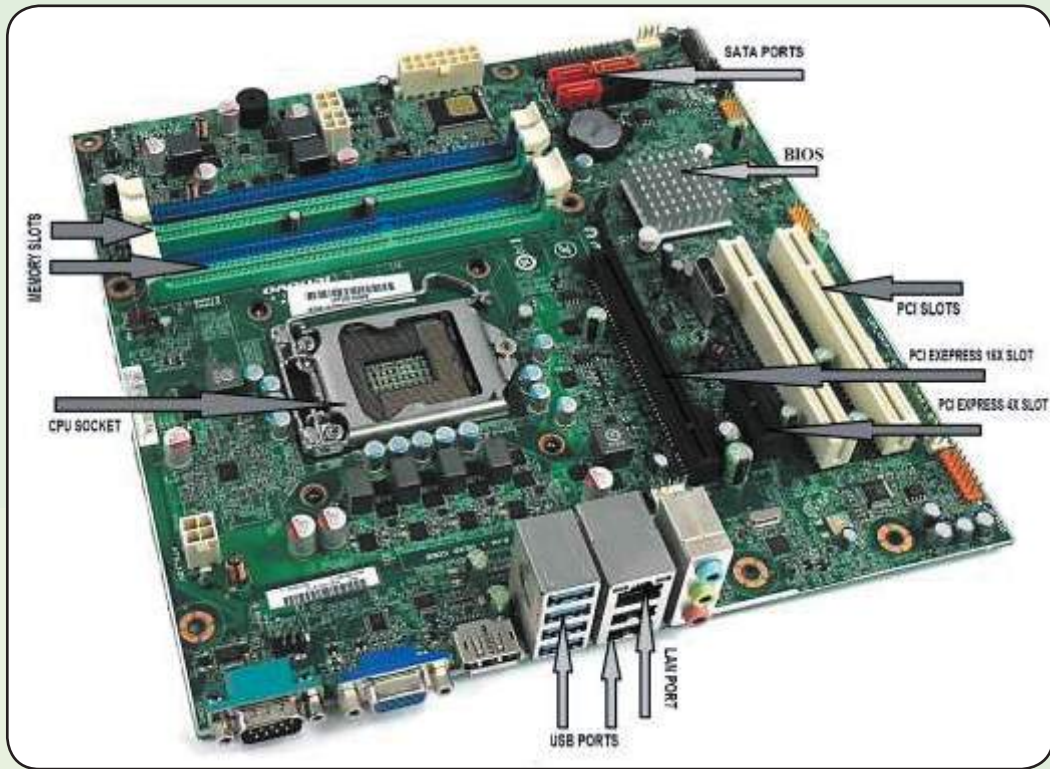
تعاقبت الأحداث خلال الخمسين سنة الماضية بصورة مذهلة في مجال الحاسب الآلي وتطبيقاته، حيث ظهر الحاسب الآلي في البداية ثم

دعمت إمكانياته. وما إن حلت الثمانينات من القرن العشرين حتى كان الحاسب الشخصي يحتل مكان الصدارة في الصناعات العسكرية والمدنية وشهدت الأعوام التالية تطورات بدأت مع زيادة قدرات الأجهزة وربطها مع بعضها البعض لتكوّن شبكة تستطيع فيها الأجهزة أن تتبادل الملفات والتقارير والبرامج والتطبيقات والبيانات والمعلومات وساعدت وسائل الاتصالات على زيادة رقعة الشبكة الصغيرة بين مجموعة من الأجهزة ليصبح الاتصال بين عدة شبكات واقعاً ملموساً في شبكة واسعة تسمى الإنترنت (Internet) والحاسب الآلي هو أعظم هدية أهدتها التكنولوجيا إلى الإنسان في القرن العشرين، والآن يعد إتقانه واستعماله مفتاحاً هاماً لدخول القرن الجديد.

كان أول تقديم للحاسب منذ أكثر من خمسين عاماً حيث كان يتكون من حوالى ١٨٠٠٠ صمام إلكتروني، وهذه الصمامات هي نوع معقد بعض الشيء من الأدوات الإلكترونية التي لها شكل مصباح الإضاءة الكهربى المعروف وذو الحجم المتوسط. وهي مماثلة للصمامات التي كانت تستعمل لتشغيل الراديو لمدة طويلة من الزمن وحتى اختراع الترانزيستور، وكذلك لتشغيل التلفزيون في بداية عهده. كان الحاسب في حينها يحتل بناية كاملة، ويزيد وزنه عن ثلاثين طناً. وهذا يعنى أن وزنه أكثر من وزن ثلاثين سيارة. وكانت تلك البناية في حاجة لأجهزة تبريد عملاقة لإزالة الحرارة الناجمة عن تلك الصمامات الإلكترونية. ومع ذلك فإن فعاليته لم تكن أكثر من فعالية آلة حاسبة جيب صغيرة!

والصيانة تعنى المحافظة على الجهاز وإبقاؤه يعمل بشكل صحيح، من خلال اكتشاف الأعطال وتشخيصها ثم إصلاحها أو استبدال الأجزاء العاطلة منها.
والصيانة أنواع :

١- **الصيانة الدورية:** هي الصيانة التي تتم بشكل دورى على فترات زمنية معينة.



حجمها إلا أنها تتطلب مئات التوصيلات باللوحة الأم، يثبت المعالج في منتصف إطار بلاستيكي أكبر يشتمل

على المئات من فتحات التوصيل التي تثبت باللوحة الأم ويضم السطح العلوي للمعالج قطعة بلاستيكية عازلة أما السطح السفلي فيحتوي على المئات من الإبر Pins لتوصيله بالإطار البلاستيكي ثم باللوحة الأم، ويتم تزويد المعالج بمبرد للهواء للحفاظ عليه من الحرارة الزائدة.

ويعتبر مبرد الهواء من أهم الأجزاء باللوحة الأم، وبدونها يمكن أن يتعرض الجهاز للتلف.

يوجد بمنتصف منفذ وحدة المعالجة المركزية CPU ترمومتر صغير لقياس حرارة CPU وتوجد معلومات سرعة مبرد الهواء وترمومتر CPU في

٢-١ لصيانة الوقائية: هي التي تتم في أي وقت حسب حاجة الجهاز ومدى تعرضه للأتربة والغبار والعوامل البيئية بغرض حماية الجهاز وتعتبر من أهم جوانب الاهتمام بالحاسب الآلي الشخصي وغيره، حتى يمكن الاستفادة منه لمدة طويلة جداً دون تلف.

٣- الصيانة الاضطرارية: هي التي تتم عند حدوث عطل معين. ونحن نهدف هنا إلى إكساب القارئ المهارات اللازمة والتي تمكنه من التعامل مع أجزاء الحاسب الآلي المادية، وذلك بقيامه بتركيب جهاز حاسب آلي وإصلاح أعطاله وصيانتته وترقيته بعون الله تعالى.

تركيب جهاز الحاسب الآلي

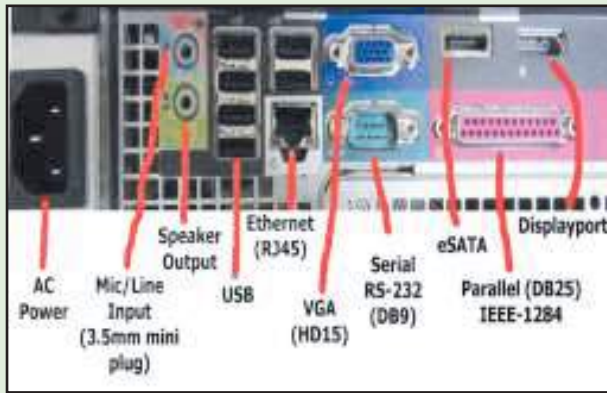
يحتوي الحاسب الشخصي على:

اللوحة الأم Motherboard

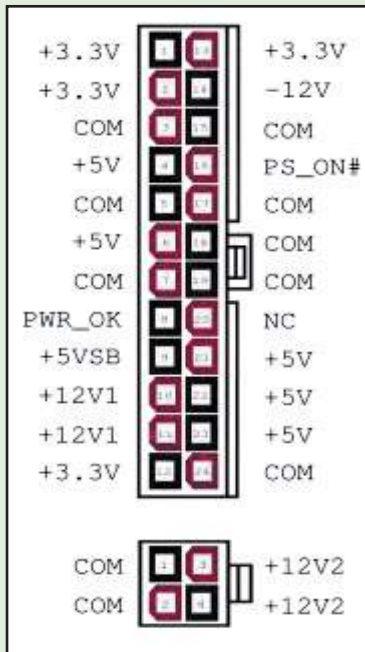
من أهم أجزاء جهاز الكمبيوتر، على الرغم من وجود بعض المكونات التي بدونها لا يستطيع الحاسب العمل فهي تقوم بتوصيل كافة الأجزاء الأخرى معاً، وهي عبارة عن دائرة كهربائية مطبوعة، وهي تتكون من:

١- منفذ توصيل المعالج Processor Socket

تمتاز معالجات أجهزة الحاسب المكتبية بصغر



بطاقات الامتداد بطاقة العرض Graphics Card وبطاقات الصوت Sound Card وبطاقات الشبكة. إن تنوع التوسع والامتداد باللوحة الأم، ولكل منها قدراته وأشكاله المختلفة، ومن أشهر منافذ التوسع الحديثة منفذ PCI (Peripheral Component Interconnect) أو منفذ موصل المكونات الفرعية الذي يبلغ طوله ٣,٥ بوصة وتحتوي أغلب اللوحات الأم على خمسة منافذ PCI، أصبحت الألعاب ثلاثية الأبعاد 3D games هي الأكثر استخداماً بأجهزة الحاسب وقد تستهلك كافة موارد منافذ PCI إذا تم تشغيلها باستخدام بطاقات العرض Graphic Card التقليدية وفي هذا السياق طورت شركة Intel ما يعرف باسم بطاقات (Accelerated Graphics Port) AGP والذي صمم بطريقة تجعله أسرع مرتين من منفذ PCI ومنذ إصدار بطاقات AGP ضاعفت Intel من سرعة بطاقات AGP وذلك بتطوير AGP2x وهو أسرع أربعة مرات من منفذ PCI ثم طورت حديثاً بطاقات AGP4x وهي أسرع ٨ مرات من منفذ PCI



بطريقة تجعله أسرع مرتين من منفذ PCI ومنذ إصدار بطاقات AGP ضاعفت Intel من سرعة بطاقات AGP وذلك بتطوير AGP2x وهو أسرع أربعة مرات من منفذ PCI ثم طورت حديثاً بطاقات AGP4x وهي أسرع ٨ مرات من منفذ PCI



إعدادات BIOS، مما يؤكد أهمية هذه الأجزاء والتي بدونها تتلف وحدات المعالجة المركزية بسهولة.

٢ - منافذ الذاكرة Memory Slots

هناك أنواع من منافذ الذاكرة العشوائية المتزامنة DRAM هي :

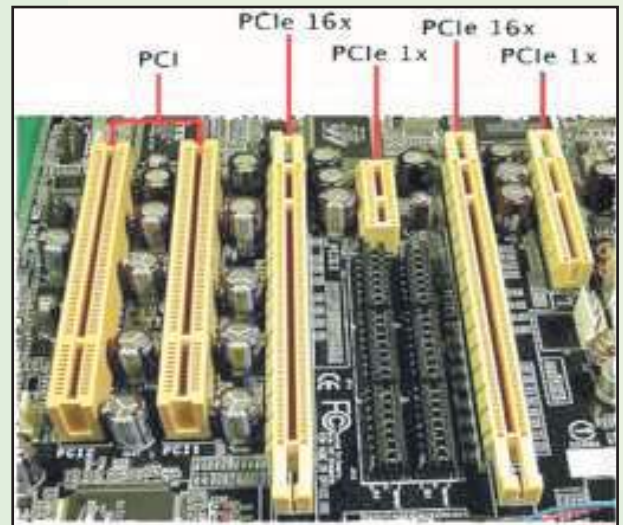
SDRam & RDRam & DDRam وتختلف الأنواع الثلاثة في الحجم والشكل والضوئيات وبالتالي لا تتوافق مع بعضها وتوجد منافذ الذاكرة باللوحة الأم في شكل

مميز يوضح نوع الذاكرة التي يجب توصيله بها وتدعم اللوحة الأم واحدة أو أكثر من هذه التقنيات الخاصة بالذاكرة.

يوجد بأغلب اللوحات الأم منفذان أو ثلاثة أو أربعة من منافذ الذاكرة على سطحها، إلا أن حجم الذاكرة التي تدعمها اللوحة الأم ترتبط بتصميم منافذ اللوحة الأم نفسها، فكلما زادت سرعات وقدرات منافذ الذاكرة باللوحة الأم زاد مقدار الذاكرة التي يمكن للوحة الأم تشغيلها.

٢ - منافذ التوسع Expansion Slots

تحتوي اللوحات الأم ATX على عدد من منافذ التوسع تستخدم لمضاعفة قدرات أجهزة الحاسب، ومن أشهر



أو نموذج الذاكرة فإنه يخبر مكبر الصوت بصندوق الوحدات لإصدار إشارة صوتية خاصة.

يعرض BIOS واجهة لمعدات الحاسب الداخلية والخارجية كالمنافذ Ports ولوحة المفاتيح Keyboard ومتحكمات الأقراص وبمجرد تشغيل نظام التشغيل ينتهي تحكم BIOS، وبالنظر إلى الشكل المادى BIOS نجد أنه عبارة عن شريحة تقليدية باللوحة الأم يبلغ عرضها حوالى نصف بوصة وطولها حوالى بوصتين أما عن التركيب الداخلى BIOS، فهو عبارة عن جزء صغير من الذاكرة يخزن به برنامج BIOS وإعدادات التهيئة الافتراضية.

يحتاج BIOS لمعرفة التهيئة الخاصة بجهازك مثل أنواع برامج التشغيل بالحاسب ومن أى برنامج يقوم بالتشغيل منها وبأى ترتيب بالإضافة للأساسيات الأخرى كالتوقيت والتاريخ تخزن هذه التهيئات فى قسم قابل لإعادة برمجته يسمى CMOS اختصاراً لـ Complementary Metal Oxide Semiconductor يستخدم CMOS ذاكرة وبطارية لحفظ إعدادات كل مستخدم عند تشغيل الجهاز وتمتاز البطارية بإمكانية استبدالها كما أنها فى شكل بطارية الآلة الحاسبة «تقريباً فى حجم العملة المعدنية» وتستخدم غالبية البطاريات تقنية الليثيوم ويفقد المؤقت الحقيقى بضع ثوان شهرياً، مما يحتاج لإعادة تصحيحه من وقت لآخر.

يعرف التسلسل التشخيصى الذى يقوم به BIOS فى كل مرة لتشغيل الحاسب باسم Power On Self Test (POST) أو اختبار بدء التشغيل يختص هذا الاختبار بفحص والتأكد من وجود بعض المكونات الضرورية بالجهاز قبل عرض أى معلومات عنها ويمر هذا الاختبار بمراحل عدة وهي:

المرحلة الأولى: يتم فيها عرض بعض المعلومات الرئيسية المختصرة على الشاشة حول بطاقة العرض مثل نوعها ومقدار الذاكرة بها.

المرحلة الثانية: تظل بها الشاشة خالية لوهلة ثم يعرض الجهاز معلومات BIOS الرئيسية على الشاشة مثل اسم الشركة المصنعة ورقم إصدارته فى اعلى

وهناك بعض اللوحات الأم التى تحتوى على منافذ AGP pro وهى امتداد للـ AGP ويوفر هذا المنافذ طاقة ١١٠ وات لبطاقات موائمة الأشكال الرسومية التى تحتاج لطاقة كهربائية عالية ومع انتشار الألعاب الثلاثية الأبعاد تم تطوير منفذ بطاقة العرض فأصبح PCI Express 16 X أى اسرع ٣٢ مرة من منفذ PCI العادى.

٤ - الموصلات والمنافذ Plugs and Ports

يوجد على سطح اللوحات الأم الحديثة ATX منافذ قياسية خارجية Ports ومن أنواع المنافذ الموجودة باللوحة الأم القياسية منفذان PS/2 أحدهما للماوس والأخرى للوحة المفاتيح، ومنفذ متوالى Serial Ports 9 Pin وعدد من منافذ USB كما يوجد باللوحة الأم أيضاً توصيلات لزيادة قدرات الشبكات وكفاءة الأشكال الرسومية.

٥ - الطاقة Power

من أهم وظائف اللوحة الأم تزويد وحدة المعالجة المركزية CPU ووحدات التبريد والذاكرة والبطاقات بالطاقة الكهربائية وتحصل اللوحة الأم على هذه الطاقة من مزود الطاقة الرئيسى Power Supply وتعيد توزيعها على المكونات المختلفة حسب الحاجة.

تضم اللوحات الأم ATX مزود طاقة خاص بها يسمى ATX Power Supply وهو مزود بمبرد خاص يدفع الهواء للمكونات الأخرى كالمعالجات وطاقات الامتداد وتحتوى مزودات الطاقة ATX Power Supply على عدد من موصلات الطاقة الداخلية التى تزود اللوحة الأم بالطاقة لتوزيعها على الشرائح والبطاقات.

٦ - وحدة الإدخال والإخراج الرئيسية BIOS

يرمز مصطلح BIOS إلى Basic Input Output System أو نظام وحدة الإدخال والإخراج الرئيسية بالحاسب وهو النظام المسئول عن بدء تشغيل الحاسب حيث يقدم سلسلة تشخيصية يفحص بها وجود وحدة المعالجة المركزية CPU والذاكرة والبطاقات الداخلية الرئيسية ثم تنشيطها، فإذا اكتشف BIOS أى مشكلات بالبطاقات أو وحدة المعالجة المركزية

والذاكرة ويمكن أن تدعم تشغيل قرص واحد أو أكثر حيث ترتبط بالقدرة الكلية للوحة الأم والشرائح الموجودة عليها، مما يعنى أنك لا تستطيع ترقيةها دون استبدال اللوحة الأم كاملة. مثلا إذا كان لديك لوحة أم مصممة لتشغيل وحدة معالجة مركزية Intel P4 فلن تستطيع استبدالها بوحدة AMD Athlon والعكس.

٩ - الملحقات المدمجة Onboard Peripheral

تدعم اغلب اللوحات الأم تثبيت أجهزة إضافية غير الأجهزة المثبتة بشريحتها وهناك متحكمات إضافية للصوت والشبكات والقرص الصلب توفر على المستخدم تثبيت بطاقات امتداد إضافية وتمتاز هذه المتحكمات بأنها مدمجة Onboard مما يتسبب فى زيادة سعر اللوحة الأم، وتكمن الميزة فى الملحقات المدمجة فى السعر والملائمة والحجم وذلك لأنها اقل سعرا من اللوحة الأم الرئيسية المثبت بها بطاقات امتداد ملحقة كما أنها لا تشغل مساحة كبيرة بالجهاز، أما فيما يتعلق بالأداء فليس هناك فارق ما بين متحكمات مدمجة Onboard وأخرى موجودة ببطاقات امتداد.

١٠ - الموصلات والمؤقتات Buses and Clocks

يعزى السبب الرئيسى فى سرعة الحاسب إلى المعالج حيث وصلت سرعات المعالجات الحديثة إلى أكثر من ٣ جيجا هرتز أما الموصلات Buses فهي المسؤولة عن نقل البيانات من أحد أجزاء الحاسب إلى جزء آخر، وتختلف أنواع الموصلات فى الحاسب ولكل منها سرعته الخاصة.

يمكن تصنيف أعطال اللوحة الأم إلى خمسة أقسام رئيسية:

أعطال مرتبطة بالمكثفات Capacitors

أعطال مرتبطة بشريحة BIOS

أعطال مرتبطة بمنظمات الجهد Voltage regulators

أعطال مرتبطة بالبطارية Battery

أعطال أخرى متنوعة

١ - بالنسبة للأعطال مرتبطة بالمكثفات Capacitors

يكون السبب ناتج عن مكثفات من نوع ردى، ومن ثم تكون اللوحات الأم من هذا النوع عرضة أكثر من غيرها للأعطال المرتبطة بمشاكل المكثفات، وبصفة عامة،

الشاشة، أما فى أسفل الشاشة فيتم عرض سلسلة من الرموز المستخدمة لتحديد نوع اللوحة الأم أو الشريحة الرئيسية.

المرحلة الثالثة: يتم فيها تعريف وحدة المعالجة المركزية CPU ثم حجم الذاكرة المثبتة مقدرة بالكيلوبايت ثم تصدر إشارة صوتية.

المرحلة الرابعة: يتم فيها تعريف وحدات تشغيل الأقراص المتصلة بمتحكمات IDE أو SATA باللوحة الأم ثم يتم فحص باقى متحكمات وحدات التشغيل بالترتيب وبعد انتهاء عملية فحص مكونات الجهاز، يخبر BIOS وحدة المعالجة المركزية CPU لبدء نظام التشغيل من إحدى وحدات الأقراص «ويكون غالبا القرص الصلب» المحددة فى CMOS

٧ - مكونات الأخرى Others

هناك بعض المكونات الأخرى التى تدخل فى تكوين اللوحة الأم وتتكامل مع غيرها من المكونات لتشغيل هذه المنظومة الهائلة، كما تشمل هذه المكونات على سبيل المثال شريحة Bios Chip والبطارية Battery التى تسمح لل BIOS والمؤقت بتذكر إعدادات المستخدم.

تحتوى اللوحات الأم أيضا على عدد من المكثفات Capacitors المتمركزة حول منفذ وحدة المعالجة المركزية CPU Socket تساعد هذه المكثفات بالإضافة إلى مجموعة أخرى من الموصلات Transistors على تنظيم الطاقة زيادة استقرار النظام وتوجد هذه الموصلات عادة بجوار منفذ المعالج Processor Socket كما تحتوى اللوحات الأم أيضا على ما يسمى LED وهى تساعد على تهيئة النظام والتغلب على المشكلات المختلفة، وتوضح وجود الطاقة فى النظام فى حين يوضح بعضها الآخر تشخيصات أكثر تعقيدا مثل تحديد المكونات المفقودة أو التالفة.

٨ - الشرائح Chipsets

تتحكم الشريحة Chipset فى الاتصالات التى تحدث باللوحة الأم كما تحتوى الشريحة على متحكمات مسؤولة عن تشغيل الوحدات والمنافذ المختلفة، تدعم الشريحة نوعا واحدا فقط من المعالجات

٢ - الأعطال المرتبطة بوحدة الإدخال والإخراج الأساسية BIOS

■ الضبط الخاطئ jumpers الخاصة BIOS قد يؤدي في بعض الأحيان إلى مسح محتويات الشريحة ويحدث ذلك في معظم الأحيان أثناء تحديث BIOS بينما jumper الخاص بحماية شريحة BIOS من الكتابة عليها في وضع الحماية Protected. ويمكن التأكد من حدوث ذلك أو عدمه باستبدال شريحة BIOS المشتبه فيها بأخرى سليمة من نفس النوع ثم إعادة تشغيل اللوحة الأم

■ قيام الجهاز بعمل Restart تلقائياً أثناء العمل عليه في هذه الحالة ينبغي فحص المكثفات المجاورة لموضع تركيب البروسيوسور / Processor socket slot والتأكد من سلامتها، وتغيير التالف منها .

■ إذا كان الجهاز يعطى صفارة قصيرة Beep عند تشغيله، فإن ذلك يكون مؤشراً إلى أن شريحة BIOS الموجودة على اللوحة الأم سليمة. كذلك فإن إصدار الجهاز لأي صفارة أخرى بسبب وجود عطل ما يكون أيضاً مؤشراً إلى أن شريحة BIOS سليمة.

شريحة ال BIOS عادة ما تكون في صورة دائرة متكاملة IC ولها ٣٢ طرف مثبتة على socket مخصص لها وتميز شريحة BIOS بوجود ملصق sticker ورقي أو فضي أو ذهبي مكتوب عليه اسم الشركة المصنعة مثل Award و Phoenix و AMI وغيرها، ورقم إصدار BIOS المخزنة في الشريحة.

بعض شرائح BIOS تكون مربعة الشكل وتكون أطرافها موزعة على جوانبها وهذا النوع من شرائح BIOS يثبت أحيانا في Socket مخصص لها وأحيانا تكون مثبتة باللحام مباشرة على اللوحة الأم.

٣ - أعطال مرتبطة بمنظمات الجهد Voltage regulators

معظم أعطال اللوحة الأم تكون مرتبطة بدوائر تنظيم الجهد voltage regulators الموجودة على اللوحة الأم أو بالمكثفات الموجودة عليها. إذا كانت اللوحة الأم مستخدمة لمدة طويلة ومن المهم إجراء الآتي :

فإنه عادة ما يستخدم في اللوحات الأم رخيصة الثمن مكثفات الكتروليتية ذات نوعية رديئة، لذلك تكثر أعطال المكثفات في هذه النوعية من اللوحات الأم.

اللوحات الأم التي استخدم في تصنيعها مكثفات الكتروليتية من نوع جيد عرضة أيضاً للأعطال المرتبطة بمشاكل المكثفات ولكن بعد مدة طويلة نسبياً من استخدامها، وسبب ذلك أن المكثفات الالكتروليتية بصرف النظر عن مدى جودتها يكون لها عمر افتراضى محدد تتلف بعده، لذلك قد يكون من المفيد عند محاولة إصلاح لوحة أم مستخدمة لمدة طويلة تغيير جميع المكثفات الالكتروليتية الموجودة عليها بأخرى جديدة.

الأعراض المرتبطة بمشاكل المكثفات

■ لا يعمل جهاز الحاسب إلا بعد تكرار المحاولة عدة مرات .

■ فشل اللوحة الأم في إتمام POST بنجاح .

■ فشل اختبار الذاكرة Memory Test الذي يجرى عند بدء تشغيل الجهاز .

■ تحذير Health Alarm عند تشغيل الجهاز صوت صفارة عالية ثم صفارة منخفضة hi-low siren بدون أن يعرض BIOS على الشاشة سبب التحذير أو موضع العطل.

■ دوران مروحة الميكروبروسيوسور Microprocessor، وإضاءة المؤشرات الأمامية في الجهاز front panel indicators دون أن يعمل الجهاز أو يعرض أى صورة على الشاشة .

■ فشل إتمام عملية تحميل النظام Boot-up

■ عند محاولة إعادة تنزيل نظام التشغيل Setup ، لا تتم عملية التنزيل بنجاح .

■ تهنيج الجهاز باستمرار وبصورة عشوائية.

■ ارتفاع درجة حرارة البروسيوسور بصورة غير عادية بالرغم من عدم تحميله بعمليات معالجة معقدة

■ عدم استقرار الجهاز وبالذات عند تشغيل برامج رسومييه معقدة complex graphics

يلاحظ أن قيم الفولتات المختلفة في Setup الخاص باللوحة الأم غير مستقرة كما يلاحظ أن قيمها خارج الحدود المسموحة.

المختزنة بها « CMOS Checksum Error » أهم مؤشر لتلف البطارية وحاجتها للتغيير هو تكرار ظهور رسالة « CMOS Battery Low » فى كل مرة يتم فيها تشغيل الجهاز مقرونة برسالة .

■ عند تغيير البطارية يجب التأكد من أن البطارية البديلة من نفس النوع، ومعظم البطاريات المستخدمة حاليا يكون مكتوبا على السطح العلوى لها CR2032 .

■ فى حال ترك البطارية حتى تنفذ شحنتها تماما، فإن هذا قد يسبب مشكلة جديدة تظهر فى صورة رفض اللوحة الأم أن تعمل بالرغم من توصيلها بوحدة التغذية. بمعنى آخر أن اللوحة الأم تكون فى هذه الحالة قاطعة.

عندما تكون اللوحة الأم قاطعة فإنه يمكن التأكد مما إذا كانت البطارية هى سبب المشكلة أم لا عن طريق قياس فرق الجهد على طرفى البطارية، فإن وجد أن فرق الجهد على طرفيها هو ٥٧ أو قيمة قريبا جدا من ذلك، فهذا دليل أكيد على تلف البطارية وأنها السبب فى المشكلة .

٥ - أعطال أخرى

المشكلة الأولى البورد تعمل power بشكل جيد ولكن لا تخرج POST

وهذا العيب هو أهم عيب حيث أن العديد من القطع قد تحمل هذا العيب وهى بالترتيب المكثفات الخاصة بالبروسيسور وهى دائما ما تكون ٦,٣٧ للعين بانتفاخ واضح أعلى المكثف - ترانزيستور البور الخاص بالبروسيسور وهم فى الغالب من ٤ إلى ٨ قطع، وأحيانا تكون المشكلة فى chip الرئيسى أو الفرعى وليس له حل .

المشكلة الثانية أحيانا فى اللوحات الحديثة عندما تحاول أن تشغل اللوحة مروحة البروسيسور تدور دورة أو اثنتين وتتوقف العيب هنا فى الكهرباء الإضافية الخاصة باللوحة P4 ويكون هناك اثنين من الترانزيستور أرقامهم متشابهة، ولا بد من تغييرهم لوجود short.

■ فحص المكثفات الالكتروليتية Electrolytic capacitors والتأكد من أنها سليمة.

■ فحص البطارية Battery والتأكد من أنها سليمة.

■ الفحص الظاهرى للوحة الأم Motherboard .

■ يعتبر الفحص الظاهرى Physical check من أهم الإجراءات التى ينبغى القيام بها عند تشخيص أعطال اللوحة الأم.

يتم الفحص الظاهرى للوحة الأم بما يلى :

■ البحث عن أى آثار لتلف المكثفات الالكتروليتية الموجودة على اللوحة الأم .

■ البحث عن أى آثار لحدوث زيادة غير طبيعية فى درجة حرارة الأجزاء الالكترونية الموجودة على اللوحة الأم وهو ما يشار إليه بالمصطلح Overheating، كما يهتم الفحص الظاهرى بالبحث عن التغير فى لون أى قطعة الكترونية نتيجة لحدوث overheating .

■ التأكد من التثبيت الجيد للدوائر المتكاملة ICs التى يستخدم فى تثبيتها على اللوحة الأم قواعد تثبيت IC Sockets كذلك يجب التأكد من أن أطراف هذه الدوائر المتكاملة لا يوجد بينها أطراف مثنئية وأن التلامس بين أطراف الدائرة المتكاملة ونقاط التلامس الموجودة فى قاعدة التثبيت جيدة.

■ التأكد من أن جميع خطوط التوصيل المطبوعة على اللوحة الأم سليمة ولا يوجد بها أى قطع.

٤- أعطال مرتبطة بالبطارية Battery

تستخدم البطارية الموجودة على اللوحة الأم أساسا لتغذية ذاكرة CMOS الموجودة على اللوحة الأم بتيار صغير جدا يمكنها من الاحتفاظ بالبيانات المسجلة بها أثناء عدم تشغيل الجهاز فى الظروف

العادية، تستمر البطارية فى العمل بصورة طبيعية لمدة قد تصل إلى أربعة أو خمسة سنوات دون الحاجة إلى تغييرها .

■ ترك الجهاز بدون تشغيل لفترة طويلة قد يؤثر على كفاءة البطارية نتيجة لاستنزاف الشحنة



الطقس والجراد الصحراوي

تقرير:

اعداد المنظمة العالمية للأرصاد الجوية

منظمة الاغذية والزراعة للأمم المتحدة ٢٠١٦

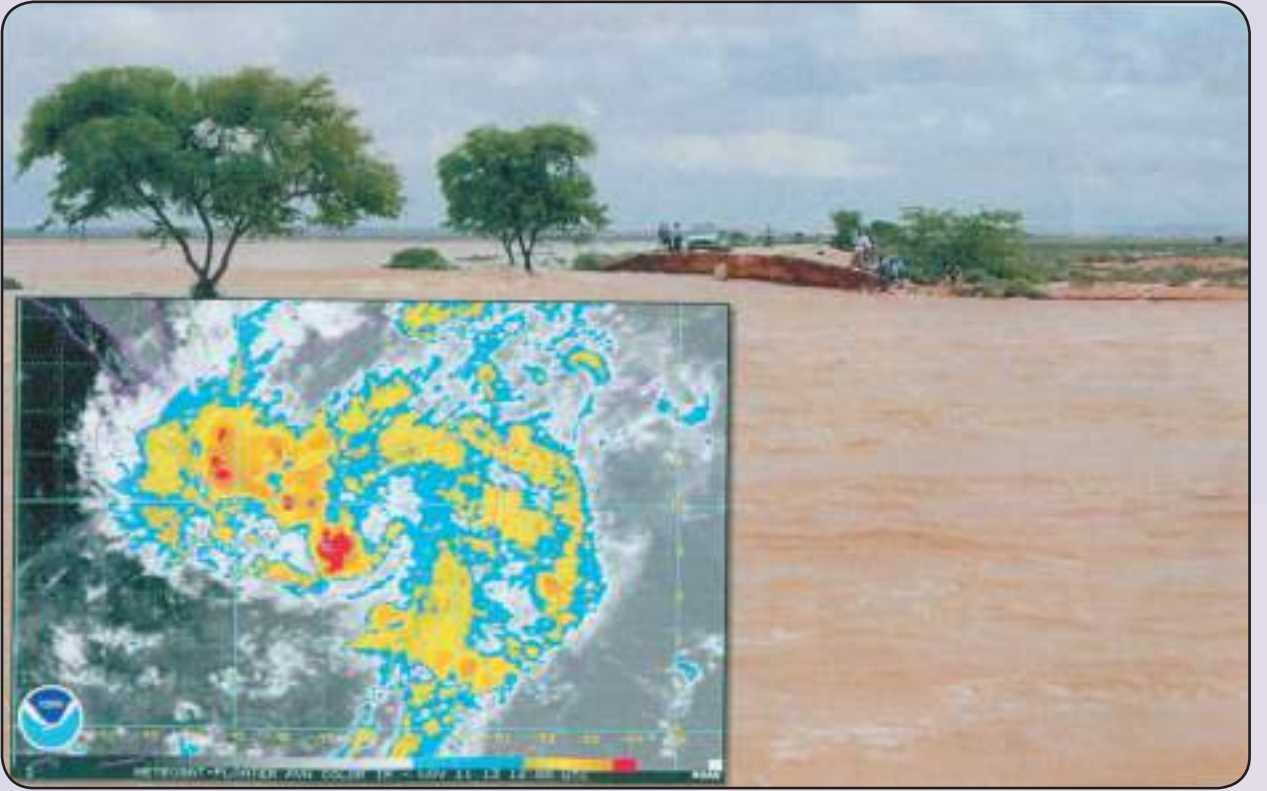
آثار تيير المناخ

يتنبأ الخبراء في تغير المناخ بطقس أكثر تطرفاً، بما يشمل حالات جفاف وفيضانات وأعاصير. ومع أن أعداد الجراد تقل أثناء حالات الجفاف، كثيراً ما تحدث تفشيات للجراد في أعقاب الفيضانات والأعاصير «الشكل ١٨».

درجات الحرارة ارتفاعها. ودرجة الحرارة تحكم سرعة تطور الجراد وحركة الأسراب. ومن ثم فإن زيادة درجات الحرارة المرتبطة بتغير المناخ قد تؤدي الى خفض مدة النضج والحضانة الطويلة خلال الربيع وتتيح جيلاً إضافياً من التكاثر في شمال غرب أفريقيا، وشبه الجزيرة العربية، وجنوب غرب آسيا، وهذا قد يؤدي الى زيادة عدد أجيال الجراد في سنة في هذه المناطق وأن يضاعف خطر الأوبئة بوجه عام والتغيرات في ظاهرتي النينيو والنينيا الناجمة عن تغير المناخ قد تؤثر على التكاثر إبان الشتاء في القرن الأفريقي وإبان الصيف في غرب منطقة الساحل الأفريقية.

أما تأثيرات تغير المناخ على الرياح فهي ليست مؤكدة بنفس القدر. وأي تغيرات في سرعة الرياح واتجاهها وتدفقات دورانها من المتوقع أن تؤثر على هجرة الجراد الصحراوي وقد تتيح للجرادات البالغة وللأسراب الوصول الى مناطق جديدة في أوقات مختلفة من السنة. ومسألة ما إذا كانت هذه الجرادات والأسراب ستكون قادرة على أن تصبح مترسخة وان تظل حية وتتكاثر في هذه المناطق الجديدة تتوقف على الأحوال الأيكولوجية وأحوال الموئل والطقس.

والزيادات المحلية في سقوط الأمطار يمكن أن تكون مواتية لتكاثر الجراد وان تحدد حجم مناطق علفها مما يؤدي الى تغيرات في تطور وباء الجراد في حالة تفشي الجراد في المناطق الداخلية من اليمن آيار/ مايو - أيلول/ مايو- سبتمبر ٢٠٠٧، مثلاً، حدثت في منطقة كان من المعتقد أنها منطقة عبور للجراد الصحراوي أكثر من كونها موقعا هاما لتكاثره ولأن المنطقة شديدة الوعورة والبعد ونادراً ما يتفشي فيها الجراد، كان من اللازم الحصول من الخارج على خبراء دوليين، ومبيدات حشرية إضافية، وبعض معدات الرش ومبيدات الآفات ومضخات الوقود وملابس واقية ومجموعات أدوات إسعافات أولية لدعم جهود المكافحة الوطنية وللقيام على التفشي الناشيء قبل أن يتمكن من تدمير الإنتاج الزراعي ويمتد الى بلدان أخرى. وفي نوفمبر ٢٠١٥، تسبب إعصاران في هطول أمطار غزيرة على المناطق الساحلية والداخلية من جنوب اليمن، مما أتاح أن تظل الأحوال مواتية لتكاثر الجراد لمدة تصل الى ستة أشهر وقد تبدو هذه الأمثلة إيذاناً بتفشيات واجتياحات أخرى في مواقع غير متوقعة، ربما تكون مرتبطة بتغير المناخ. ويتنبأ الخبراء في تغير المناخ أيضا بأن تواصل



الشكل ١٨- الأثر المحتمل لتغير المناخ على الجراد الصحراوي وحدث زيادة في ظواهر سقوط الأمطار المتطرفة هو أحد تأثيرات تغير المناخ التي تترك أثراً على الجراد الصحراوي وفي تشرين الثاني/ نوفمبر ٢٠١٣ سقطت أمطار غزيرة تراوحت من ٧٥ ملليمتراً إلى ٣٠٠ ملليمتراً مرتبطة بالإعصار المداري O3A في شمال الصومال. وحدث فيضان شديد في بعض المناطق التي سقطت عليها أمطار تتجاوز المعدل السنوي لسقوط الإمطار فيها ١٥ مرة في غضون يومين. وأدى هذا الى حالة تفشي للجراد الصحراوي امتدت في نهاية المطاف الى جيبوتي وإثيوبيا.

افريقيا، والشرق الأدنى، وجنوب غرب آسيا. وقد عقدت حلقة العمل للبلدان الناطقة بالفرنسية في نيامي، النيجر، في الفترة من ١٨ إلى ٢١ ابريل ٢٠٠٥، أما حلقة العمل للبلدان الناطقة بالانجليزية فقد عقدت في مسقط، عُمان، في الفترة من ٩ إلى ١٢ ابريل ٢٠٠٦.

توصيات موجهة إلى المرافق الوطنية للأرصاد الجوية والهيدرولوجيا NMHSs والمراكز الوطنية لمكافحة الجراد NLCCs حلقة عمل النيجر.

- ينبغي أن تحسن المرافق الوطنية للأرصاد الجوية والهيدرولوجيا NMHSs نوعية وإرسال بيانات الأرصاد الجوية القائمة.
- ينبغي استخدام الصور الساتلية لتكملة البيانات الحالية ولكن من اللازم معالجة مسألة التكاليف،

الإطار ٣- توصيات حلقات العمل

استناداً إلى الاستنتاجات التي خلص إليها اجتماع الخبراء المعنى بمعلومات الأرصاد الجوية لمكافحة الجراد الصحراوي، الذي عقد في جنيف، سويسرا، في الفترة من ١٨ إلى ٢٠ أكتوبر ٢٠٠٤، قررت منظمة الأغذية والزراعة «FAO» والمنظمة العالمية للأرصاد الجوية «WMO» تنظيم حلقات عمل اقليمية لصالح كل من البلدان الناطقة بالفرنسية والبلدان الناطقة بالانجليزية في شمال افريقيا وجنوب غرب آسيا.

وقد ضمت حلقات العمل خبراء وممثلين للمرافق الوطنية للأرصاد الجوية والهيدرولوجيا NMHSs والمراكز الوطنية لمكافحة الجراد NLCCs من البلدان التي يحتمل أن تكون مهددة بالجراد في شمال وشرق

توصيات موجبة إلى المرافق الوطنية للأرصاد الجوية والهيدرولوجيا NMHSs والمراكز الوطنية لمكافحة الجراد NLCCs حلقة عمل عمان.

- تنظيم اجتماع بين المرافق الوطنية للأرصاد الجوية والهيدرولوجيا NMHSs والمراكز الوطنية لمكافحة الجراد NLCCs لبحث التعاون بينهما في المستقبل.
- وضع اتفاق رسمي رفيع المستوى بين المرافق الوطنية للأرصاد الجوية والهيدرولوجيا NMHSs والمراكز الوطنية لمكافحة الجراد NLCCs
- إنشاء فرقة عمل مشتركة بين المرافق الوطنية للأرصاد الجوية والهيدرولوجيا NMHSs والمراكز الوطنية لمكافحة الجراد NLCCs
- إنشاء جهات تنسيق في المرافق الوطنية للأرصاد الجوية والهيدرولوجيا NMHSs والمراكز الوطنية لمكافحة الجراد NLCCs
- وضع شكل لنواتج معلومات الطقس وتقديمها.
- تشجيع وإرساء أواصر التعاون المحلي «تشجيع الموظفين المعنيين بالجراد في البلدات التي توجد فيها محطات للأرصاد الجوية على الاجتماع مع موظفي الأرصاد الجوية».
- إقرار المركز الوطني لمكافحة الجراد NLCCs روتينيا بالمساعدة والبيانات المقدمة من المرفق الوطني للأرصاد الجوية والهيدرولوجيا NMHSs في النشرات وغيرها من الوسائط.
- ينبغي أن تقوم الوكالات الدولية «منظمة الأغذية والزراعة والمنظمة العالمية للأرصاد الجوية»، عند الحاجة، بتيسير التعاون بين المرافق الوطنية للأرصاد الجوية والهيدرولوجيا NMHSs والمراكز الوطنية لمكافحة الجراد NLCCs
- من الممكن اعتبار مصر وعمان بلدين مقدمين للمساعدة في مجال التنبؤ العددي بالطقس NWP وتقديم النواتج الساتلية للمراكز الوطنية لمكافحة الجراد NLCCs في البلدان المجاورة في إقليم كل منهما.

- ينبغي استغلال بيانات الجيل الثاني من METEOSAT الموعود به هو أن يتراوح المستوى من كيلو متر واحد إلى ٢,٥ كيلو متر، اما المستوى الحالي فهو يقل عن ٥٠ كيلو مترا.
- ينبغي تكملة بيانات الطقس الحالية بمصادر ثانوية من قبيل المحطات القائمة لرصد الأمطار ونتائج عمليات المسح المتعلقة بالجراد الصحراوي.
- ينبغي تقديم تدريب اضافي لموظفي المراكز الوطنية لمكافحة الجراد NLCCs على استخدام معلومات الأرصاد الجوية والمعلومات التي تستشعر عن بعد.
- ينبغي تبادل الموظفين بين المراكز الوطنية لمكافحة الجراد NLCCs والمرافق الوطنية للأرصاد الجوية والهيدرولوجيا NMHSs فيمكن مثلا أن يعمل أخصائي أرصاد من مرفق وطني للأرصاد الجوية والهيدرولوجيا مؤقتا في المركز الوطني لمكافحة الجراد أثناء تفشيات الجراد.
- ينبغي تحسين تبادل المعلومات والبيانات بين البلدان.
- ينبغي إنشاء فرقة عمل وطنية أثناء طوارئ الجراد تضم المراكز الوطنية لمكافحة الجراد NLCCs والمرافق الوطنية للأرصاد الجوية والهيدرولوجيا NMHSs ووكالات حماية النباتات في أنشطة مكافحة الجراد وينبغي أن تجتمع فرقة العمل من أجل تقديم احاطات يومية أو أسبوعية وأن تكون صغيرة بدرجة كافية بحيث يتسنى أن يجتمع أفرادها بسرعة.
- من اللازم تحديد أدوار وأطر رسمية لتشجيع المناقشات والاحاطات بين المرافق الوطنية للأرصاد الجوية والهيدرولوجيا NMHSs والمراكز الوطنية لمكافحة الجراد NLCCs
- من اللازم استحداث آليات لكفالة التعاون الوثيق، ليس فحسب أثناء طوارئ الجراد، بل أيضا أثناء فترات انحساره.
- ينبغي استخدام شعارات ووسائل أخرى سهل التعرف عليها من أجل التشجيع بهمة على التعاون بين المرافق الوطنية للأرصاد الجوية والهيدرولوجيا NMHSs والمراكز الوطنية لمكافحة الجراد NLCCs

- تقديم تدريب ودورات لتجديد المعلومات بشأن الأرصاد الجوية المتعلقة بالجراد الصحراوي لصالح المراكز الوطنية لمكافحة الجراد NLCCs والمرافق الوطنية للأرصاد الجوية والهيدرولوجيا NMHSs
- إعداد دورة تدريب أساسية للمراكز الوطنية لمكافحة الجراد NLCCs بشأن كيفية فهم نواتج بيانات الطقس «بمساعدة المنظمة العالمية للأرصاد الجوية، عند الحاجة»
- إعداد أدلة معيارية موجهة إلى موظفي المراكز الوطنية لمكافحة الجراد NLCCs بمساعدة المنظمة العالمية للأرصاد الجوية، عند الحاجة.
- إعداد دورة تدريب أساسية لموظفي المرافق الوطنية NMHSs بشأن المسائل المتعلقة بالجراد.
- قيام المراكز الوطنية لمكافحة الجراد NLCCs بتحسين سرعة وموثوقية موصليتها بالإنترنت من أجل تلقي وتنزيل نواتج الأرصاد الجوية.
- ينبغي أن تستكشف المراكز الوطنية لمكافحة الجراد NLCCs مصادر أخرى محتملة للبيانات وأن تبرم اتفاقات مع وكالات أخرى.
- التشجيع على تبادل الموظفين بين المراكز الوطنية لمكافحة الجراد NLCCs والمرافق الوطنية للأرصاد الجوية والهيدرولوجيا NMHSs
- تطوير مرافق وقدرات المرافق الوطنية NMHSs على تلبية احتياجات المراكز الوطنية لمكافحة الجراد NLCCs من حيث المعلومات.
- **توصيات موجهة إلى الوكالات الإقليمية والدولية**
- إعداد وتوزيع مطبوع مشترك بين منظمة الأغذية والزراعة والمنظمة العالمية للأرصاد الجوية بشأن الأرصاد الجوية المتعلقة بالجراد الصحراوي باللغات العربية والانجليزية والفرنسية.
- إعداد كتيب مشترك بين منظمة الأغذية والزراعة والمنظمة العالمية للأرصاد الجوية بشأن الأرصاد الجوية المتعلقة بالجراد الصحراوي من أجل صانعي القرارات، والجهات المانحة، والجمهور العام.
- تقديم تدريب ودورات لتجديد المعلومات بشأن الأرصاد الجوية المتعلقة بالجراد الصحراوي لصالح المراكز الوطنية لمكافحة الجراد NLCCs والمرافق الوطنية للأرصاد الجوية والهيدرولوجيا NMHSs
- توفير ما يلزم لبناء القدرات «المعدات، والتدريب» للبلدان غير القادرة على تقديم نواتج سائلية ونواتج التنبؤ العددي بالطقس NWP
- تشجيع البحوث التطبيقية في مجال الأرصاد الجوية المتعلقة بالجراد الصحراوي.
- تقديم التدريب على الاستبانة المعتدلة للتصوير بالمقياس الطيفي اللاسلكي/ سائل رصد الأرض SPOT/MODIS والمرفق العالمي للمعلومات الخاصة بالأرصاد الجوية الزراعية WAMIS ونقل التكنولوجيات، وما إلى ذلك.
- نقل بيانات الطقس الإقليمية ونواتج النماذج عبر النظام العالمي للاتصالات التابع للمنظمة العالمية للأرصاد الجوية WMO من أجل تيسير الوصول إليها.
- استكشاف إمكانية زيادة عدد محطات قياس الأمطار في الوقت الحقيقي.
- تقديم معدات إضافية للمراكز الوطنية لمكافحة الجراد NLCCs
- تحسين تدفق المعلومات بين المركز الإقليمي للتدريب على الأرصاد الجوية الزراعية والهيدرولوجيا التطبيقية وتطبيقاتهما AGRHYMET والمراكز الوطنية التابعة له.
- إتاحة نواتج أرصاد جوية ذات تغطية واستبانة أفضل على كل من الصعيد الوطني والإقليمي.
- تنظيم حلقات عمل إقليمية بين المرافق الوطنية للأرصاد الجوية والهيدرولوجيا NMHSs والمراكز الوطنية لمكافحة الجراد NLCCs كل بضع سنوات.
- إقامة صلات بين المواقع الشبكية لمنظمة الأغذية والزراعة FAO والمنظمة العالمية للأرصاد الجوية WMO

وزارة الطيران المدني

الهيئة العامة للأرصاد الجوية

إعلان

مجلة الأرصاد الجوية

تصدر الهيئة العامة للأرصاد الجوية مجلة ربع سنوية علمية متخصصة فى مجال الأرصاد الجوية وتطبيقاتها على مختلف الأنشطة مثل الطيران المدني والزراعة والصناعة والرى والجغرافية المناخية والطاقة الجديدة والمتجددة والبيئة والنقل والمواصلات، كذلك تحتوى المجلة على تقارير مناخية وأحدث ما وصلت إليه التكنولوجيا فى مجال الرصد الجوى ونظم التنبؤات الجوية والتغيرات المناخية. وتتشرف أسرة التحرير بدعوة جميع المتخصصين فى مختلف المجالات العلمية ذات الصلة بالأرصاد الجوية للمشاركة بإعداد مقالات نشرها فى المجلة وعلى من يرغب فى الحصول على المجلة يمكنه الاشتراك كالتالى:

رسوم الاشتراك

■ ٤٠ جنيهاً يضاف إليها ١٢ جنيهاً فى حالة طلبها بالبريد.

أسعار الإعلانات بمجلة الأرصاد الجوية

- ١- فى بطن الغلاف الأول بمبلغ ٧٥٠ جنيهاً مصرياً.
- ٢- فى بطن الغلاف الأخير بمبلغ ٥٠٠ جنيهاً مصرياً.
- ٣- بداخل المجلة صفحة كاملة بمبلغ ٣٧٥ جنيهاً مصرياً، وتقدر الإعلانات الأقل من صفحة وفقاً لنسبة مساحتها من الصفحة.

يسدد الاشتراك بإحدى الطرق التالية:

- شيك باسم الهيئة العامة للأرصاد الجوية.
- حوالة بريدية باسم الهيئة العامة للأرصاد الجوية.
- نقداً بخزينة الهيئة.

الهيئة العامة للأرصاد الجوية - شارع الخليفة المأمون - كوبرى القبة - القاهرة ص.ب/ ١١٧٨٤